

# ԱՏՐՈՒԿՏՈՒՐԱՅԻ ԱԶԴԵՑՈՒԹՅՈՒՆԸ ՆՈՐՄԱՆ ԿՈՆՍՈԼԻԴԱՑՎԱԾ ՀՈՂՈՒՆ ԿԱՎԵՐԻ ՎԱՐՔԻ ՎՐԱ ՍԱՀՔԻ ԺԱՄԱՆԱԿ<sup>1</sup>

Գոկառ ԼՈՒՐԴԱՅ ՌՅԵՌՈՒՄ<sup>2</sup> և պրոֆեսոր Տ. ՔԱՄԵՐԸՆ ՔԵՆԻ<sup>3</sup>

ՀԱՅԵՐԵՆ ԵՎ ՌՈՒՍԵՐԵՆ ԹԱՐԳՄԱՆՈՒԹՅՈՒՆՆԵՐԻ ՆԱԽԱԲԱՆ

Սույն հոդվածը ներկայացված էր 1967 թվականին Օսլոյում կայացած բնական գրունտների սահմանադրուրյան հատկուրյուններին նվիրված եվրոպական գեոտեխնիկական կոնֆերանսին, որպես հատուկ զեկուցում։ Հողածի նպատակն էր կոնֆերանսի մասնակիցներին ներկայացնել նորվեգիական գեոտեխնիկական ինստիտուտում վերջին մի հանի տարիների ընթացքում կատարված ծովային լողուն կավերի սահմանադրուրյան հետազոտուրյունների նորագոյն արդյունքների ակնարկը։

Հոդվածում ցույց է տրված, որ հումալ-կոնսոլիդացված ծովային կավերը ունեն բեկուն վարժ։ Լարում-դեֆորմացիայի կորագիծը բնորոշվում է որի բարձրացումով, որը հաջորդվում է շատ փոքր դեֆորմացիաների պահին կատարվող հոսանքով։ Այդ կետում շիման դիմադրուրյունը գեն հնոու է սորիլիզացումից։ Բեկուն վարժը արտացոլում է ստրոկուրային դասավորման որոշ կայունուրյուն։ այն սկսում է հայտային որոշակի կրիտիկական շոշափող լարումների պահին։ Հոդվածում ապացուցվում է նաև, որ ստրոկուրայի հայերած ժամանակ կատարվող հոսանքը շատ դեպքերում որոշում է այն մեծագույն շոշափող լարումը, որին պրակտիկայում կարող է դիմանալ լողուն կավը։

1967 թվականից հետո կատարված հետազոտուրյունները հաստացեցին հոդվածում շարադրված հիմնական տեսակեար։ Սակայն, նոյնպես հաստաված էր, որ ստրոկուրային կայունուրյունը, որը փոքր դեֆորմացիաների պահին որոշում է շնորմանակարգած նորմալ-կոնսոլիդացված կավերի վարժը, հանդիսանում է այն ոչշացած կոնսոլիդացիայի արդյունքը, որին ենթակլիւցին կավերը հատեցման ժամանակից։ Այդպիսով փորձարկման ժամանակ այդ կավերի սահմանադրուրյունը հոսանքի երեսուրը նոյնական է բացառ նախակոն-

<sup>1</sup> Օսլոյում 1967 թ. կայացած Բնական գրունտների և ժայռային ապարների սահմանադրուրյան գեոտեխնիկական կոնֆերանսին ներկայացրած հատուկ զեկուցում (Bjerrum L. and Kenney T. C., Effect of structure on the shear behaviour of normally consolidated quick clays. Special report, Proceedings, Geotechnical Conference Oslo 1967 on Shear Strength Properties of Natural Soils and Rocks, vol. II, p. 19—27. Oslo 1968).

<sup>2</sup> Նորվեգիական գեոտեխնիկական ինստիտուտի դիրեկտոր, Գրունտների մեխանիկայի և հիմքարինության միջազգային ընկերության նախկին պրեզիդենտ, Օսլո։

<sup>3</sup> Քաղաքացիական շինարարության պրոֆեսոր, Տորոնտոյի համալսարան, Տորոնտո, Կանադա։

լոխդացիայի էֆեկտի հետ, որը դիտվում է ուշացած կոնսոլիդացման ենակագրված կավերի կոնսոլիդացիայի փորձարկումների ժամանակ. այդ նկառագրված է Խետիտուտի № 71 Հրատարակման մեջ (Եյերստ, 1967).

Սյու բացահայտմանը մեծ նշանակություն է տրվում բնեարկվող հարցի և սարահամն համար. այդ իսկ պատճենով հանձնարարվում է, որ նշված ողվածքը նորմալ կոնսոլիդացված կավերի հատկությունների մասին կարդացում մինչև ստորև հորվածը, որը նվիրված է սահմանակարգած ժամանակ նորմալ-կոնսոլիդացած լրդուն կավերի վարդին:

Հեղինակները երախտապարա են պրոֆ., տեխն գիտ. դրկտոր Գեորգ Տեր- տուեփանյանին սույն հոդվածի ընտրման, քարգմանության և «Գեորգիսահի- այի պրոբլեմներ» պարբերականում հրապարակման համար:

Տ. Ք. Քենի եվ Լ. ԲՅԵՌՈՒԻՐ

այս և Տորոնո, 5 սեպտեմբերի, 1970

Ո՞ւ ֆերատ. Նորվեգիայի գեռտեխնիկական ինստիտուտում վերջին տարիներում կատարած յարուատոր և զաշտային փորձարկումների արդյունները թույլ են տալիս ստեղծել լողուակերի վարքի մասին ժամանակակից կոնցեպցիա, ստրոկտորայի զասավորման դերի վերաբերյալ՝ հատուկ առաքումով:

Երբ բացակատրա ունեցող կավը ներարկվում է աճող սահման դեֆորմացիայի, լաւագությամբ կորացն առաջին մասը իրենից ներկայացնում է սահման պահին շեղառման դիմադրության շափանիշը: Սահմանի լարման որոշակի մեծության պահին ստրոկտորայի դիմադրությունը զերազանցվում է և ամբողջ կմախրով համար անհարաժեշտ անդի է անհույս քայլայտ: Հետագա ձափոխման և միջամանիկային սահման հետ մեկտեղ կավը որի լիցավում է կցուը և շիման դիմադրությունը համար կետերում, որոնք տեղադրված են աշխատան հարթություններում:

Հեղինակները ենթարկում են, որ ստրոկտորայի դիմադրությունը զգալի շափով կախված կոնսոլիդացման լարումներից և կախված չի սահման ընթացքում էֆեկտիվ լարումների փոքր նոփառություններից:

Ապացուցվում է, որ սահման դամաքեցված դիմադրությունը լիովին կախված է ստրոկտորային զամաքորման դիմադրությունից: Որոշ զեպքերում ստրոկտորային դիմադրությունը ներացացված է բացառապես կրիտիկական սահման լարումով՝ սահման գոտու տարրի սահմանում: Սահման դամաքեցված դիմադրությունը նույնպես կախված է ստրոկտորայի զասավորում դիմադրությունից:

Ցամաքեցված սահմանային դիմադրության հասնելու համար, որը հիմնականուն լախաված է շիման դիմադրությունից, մեծ դեֆորմացիաներ և ծավալի փոփոխություններ կառու են պահանջվել: Եթե ցամաքերումը զաշտում ընթանում է զանդադա, արդյունքը լինում է ցամաքեցված պայմաններից հանկարծակի անցում ցամաքեցված պայմանների, որը պատճառ է դառնում կտրուկ քայլայման, չնայած ցամաքեցված պայմանների վրա հիմնվող անվտանգության գործակիցը կարող էր և բարձր լինել:

### ՆԵՐԱԾՈՒԹՅՈՒՆ

Նորվեգիական գեռտեխնիկական ինստիտուտի հիմնադրման (1953) ժամանակաշրջանից ի վեր նրա հետազոտական գործունեության մեծ մասը նվիրվել է ծովային փափուկ կավերի կայունության և հիմնաշինության պրոբլեմների լուծման եղանակներին. այդ կավով հագեցված բնահողի վրա էն ապրում նորվեգիայի բնակլության մեծամասնությունը: Տվյալ աշխատության մեջ առավել ուշագրության են արժանացել լողուն կավերը<sup>4</sup>, որովհետև նրանց վրա ժամանակ առ ժամանակ տեղի են ունենում քայլայիշ սոլյանքներ:

Հետազարձ հայացք գցելով կարելի է ասել, որ այդ հետազոտություններում հերթակայում էին դաշտային տվյալների փաստերի կուտակման ժամանակաշրջանները, ինչպես, օրինակ, սողանքների ուսումնասիրությունը կամ դաշտերի լայնածավալ փորձարկումների կատարումը, և ինտենսիվ լարուատոր աշխատանքների ժամանակաշրջանները, երբ փորձում էին վերլուծել դաշտում տացված տվյալները վերահսկվող պայմաններում: Այդ աշխատանքների մի-

<sup>4</sup> Լողուն կավերը այն ծովային կավերն են, որոնք արորվելուց հետո համարյա լիովին կորցնում են իրենց դիմադրությունը:

չեւ ընկած ժամանակաշրջանում փորձեր էին կատարվում ի մի բերել ստացչ տեղեկությունները, վերածելով վերջիններս մի կոնցեպցիայի կամ աշեւ տանքային հիպոթեզի, նպատակ ունենալով հիմնավորված պատկերաց կազմել կավերի վարքի մասին, որն անհրաժեշտ է ուսումնասիրություններուն արդյունքները գործնականում կիրառելու և հետագա հետազոտություններուն պահանակորելու համար:

Ինստիտուտում ծավալված հնատապության գործունեության կարճ պահության ընթացքում նշանակալից զեր խաղաց Ֆուլեյի սողանքը: 1959 լողուն կավի բարակ մի փոքր թեք շերտի վրայով սահեց հսկայական մի վաղակույտ: Այդ սողանքը մարդագնին ուսումնասիրվեց (Hutchinson, 1966) և առաջնահարության արդյունքները ցուց տվեցին, որ սահեցի էֆեկտիվ դիմության պարամետրերն էին  $C=0$  և  $\varphi=7^\circ$ : որոնք եռառանցքային սափորձարկումների ժամանակի դիտված պարամետրերի համեմատ բավկանին փոքր մեծություններ են: Ֆուլեյի սողանքին հաջորդող ժամանակաշրջանը զարձավ բացառապես ինտենսիվ լողուն կավերի հետատության համար: Պարզվեց, որ լողուն կավերը ցուցաբերել են կցմ հետ կապված «ստրուկտուրային կոշտություն» և սկսում են քայրել փել փոքր դիմության մասին սահեցի կրիտակական լարմանակի: Սահեցի կրիտիկական լարմամբ մոտավորապես նույն այն մեծ թյունն էր, որը դիտվել էր Ֆուլեյում, այն փոփոխվում էր տարրեր ձև կախված այն եղանակից որով կավը ենթարկվում էր լարման: Հետագա որիներին սահեցի դիմադրության հիմնական բաղադրիչները լիիվ ուսումնական սիրվեցին: Այս աշխատառության մեջ մտել են լարորատոր փորձերը և դաշտատվյալների վերանայված ուսումնասիրությունները: Կատարված աշխատատվյալների մասամբ շարադրված է կոնֆերանսում ներկայացված զեկուցներում: Նրա սպառիչ տեսությունը արվում է Քենիի դիմերտացիայում «Բնակ լողուն կավերի սահեցի դիմադրությունը» թեմայով (Կեպու, 1966):

Փորձարկումների այս տարիներից հետո նպատակահարմար գոնվեց ի բերել մինչև օրս կատարված բոլոր շանքերի արդյունքները, լողուն կավերի վերաբերյալ ժամանակակից կոնցեպցիա կազմելու համար: այս կուպացիայի բանաձեռումը տեղ է գտել հաջորդ հատվածներում:

### ԱՐՈՒՄ-ԴԵՅՈՐՄԱՑԻԱՅԻ ՀԱՏԿՈՒԹՅՈՒՆՆԵՐԸ

Ներկայում մեր կողմից ընդունված կավերի սահեցի դիմադրությանը բարերող բնդշանուր կոնցեպցիան իր սկզբնական զարգացումը ստացել գլխավորապես տրորված կավերի վրա կատարված փորձերից: Համեմատ բնակավերի լայն սպեկտրի հետ, տրորված կավերը ներկայացնում են ուրարտ ստրուկտուրայով կամ բնդշանրապես ստրուկտուրա շունեցող գործներ: Այդ գրունտների խմբի համար նրանց սահեցի դիմադրության վերաբեր ընդունված գնահատականը հիմնված է մի շարք պարզեցրած ենթադրությունների վրա, որոնք բացառում են այդպիսի կավի ստրուկտուրայի դասավորում: Այդպիսի կավերում միջմասնիկային սահեցի դիմադրության մորիլիկացմանը նախորդում է ստրուկտուրայի վերաբերած պատմության ժամանակաշրջանում զարգացել է բաց կամ անկար ստրուկտուրայի դասավորում: Այդպիսի կավերում միջմասնիկային սահեցի դիմադրության մորիլիկացմանը նախորդում է ստրուկտուրայի վերաբերած պատմության այն կավերի համար, որոնց մեջ նստեցման կամ երկրանական պատմության ժամանակաշրջանում զարգացել է բաց կամ անկար ստրուկտուրայի դասավորում: Այդպիսի կավերում միջմասնիկային սահեցի դիմադրության մորիլիկացմանը նախորդում է ստրուկտուրայի վերաբերած պատմության այն կավերի համար, որը ցուցաբերում է մեծ ազդեցություն սահեցի լարման մեծ թյան վրա, որը կարող է կրել կավը: Սահեցի դիմադրության հանդեպ լողուն կավերի վարքի գնահատականը պահանջում է միներալային մասնիկներ ստրուկտուրային դասավորման և լարում-զեֆորմացիայի հատկությունները մանրազնին քննարկում:

<sup>5</sup> Տվյալ հոգվածում «ստրուկտուրա» (structure) տերմինը վերաբերում է միներալ միկրոստրուկտուրային տարածական դասավորմանը: Դրանց անվանման համար նախկինում որոշ հեղինակներ կողմից գործածվում էր «կառուցվածք» (fabric) տերմինը:

## Հանկարգի դիմադրություն

Որպեսզի հասկանալի դառնա լողուն կավի լարում-դեֆորմացիայի վարանհրաժեշտ է հաշվի առնել, որ միներալա-հաստիկավոր կմախքը ունի բարդիկ բաց դասավորում: Խաղաթղթե Խաղաթղթե նման այն կազմված է բարակ և սասնիկներից: Նստեցման ժամանակաշրջանում այդ մասնիկներն ունեն ֆլուկուլացիայի ձգում հպվելու եղբերով նիստերին և առաջացնելով շրղերու ու գնդիկներ, որոնց միացումը առաջացրել է կավի սկզբնական ստուկտորային դասավորում:

Այդպիսի բաց ստրուկտորային դասավորման կայունությունը մասամբ արդարացվում է ստրուկտորայի դասավորման երկրաշափությամբ, մասամբ ապապակցվածության կցումներ ունեցող դիմադրությամբ՝ հպման կետերում, անը «հռակցում են» մասնիկները միմյանց հետ: Մենք կարող ենք դանաւել երկու տարրեր տեսակի կապակցության կցումներ, առաջինն իր գոյացույթի պարտական է իննային և վանդեր-վաշլի միջաւնիկային ձգության ուժերին, մյուսը գոյացել է բիմիկական նստվածքի ցևմենտացնող անծովությունների շնորհիվ: Կցումների արդ երկու տարրերների միջնած սկզբունքային տարրերությունը ի հայտ է բերվում սահքի ժամանակ, ընթացքում կցման առաջին տեսակը զոնին մասամբ նորից զարգանում է, նոր հպման կետեր են առաջանում, մինչդեռ կցման երկրորդ տեսակի այն չի նկատվում: Ի լրացման կապակցվածության կցումների, իհարկե, ուղղությունը է լինել նաև շիման դիմադրություն հպման յուրաքանչյուր բեռնվածք:

Շնորհիվ առանձին մասնիկների ճկունությանը, կցման դիմադրությանը առուկտորային դասավորման բաց բնույթին միներալային կմախքը հաներականորեն ճկուն է: Նա ընդունակ է բառ էության կրելու լրացուցիչ լաւ, առանց ենթարկվելու քայլայման մասնիկների հպման կետերում, եթե այն լրացուցիչ լարումը չի գերազանցում որոշակի կրիտիկական մեծությունը: Այս պայմանով ստրուկտորան ենթարկվում է դեֆորմացիայի, բայց և վարքը ունի առաջական բնույթը և լարումը վերացվելուց հետո նախկին ու ծավալը իրապես վերականգնվում է: Լողուն կավի լարում-դեֆորմացի կորագիծի առաջին մասը անմիջականորեն բնույթազրում է հատիկավոր երալային կմախքի դիմադրությունը ընդդեմ շնորհածուման (նկ. 1):

Որոշակի սահքի կրիտիկական լարման ժամանակ ստրուկտորայի դասառումը համնում է իր առավելագույն դիմադրությանը: Այդ կետում գրունտի ստուգ ստրուկտորայի մեկ կատարվում է միջամասնիկային կապակցված տակտների զգալի մասի քայլայում: Ներքին լարումների հետագա վերաշխումը առաջ է բերում ստրուկտորայի դասավորման աստիճանական քայլում, որը ուղեկցվում է հետագա դեֆորմացիաներով և սահքի լարմանը՝ աղբեկար ստրուկտորայի ունակությունը հաստատորեն իշնում է: 1, ի սրում սիսեմատիկորեն պատկերված է թե ինչպես կամի ձևափոխման ժամանակ ստրուկտորայի դասավորման դիմադրությունը աստիճանաբար մոփացվում, հաղթահարվում և քայլայվում է: Սա լրիվ քայլայում է: Վերհաշվով քայլայումը կատարվում է հարթություններով սահելու հետևանքում: Հետևելու հարթություններով քայլայման զարգացմանը նրանց ձևափոխման ժամանակաշրջանում:

Մինչ կրիտիկական լարման հասնելը, որի ժամանակ սկսվում է ստրուկտորայի քայլայումը, դեֆորմացիային հարմարվելու համար բավականին շնորհածում ունեցող ստրուկտորայի տարրերն ընդունում են իրենց վրա կտիկ լարումները: Այս փուլի ենթացքում սահքի պոտենցիալ հարթությունը տեղադրված հպման կետերն իրավես պահպանվում են անվնասատիկական լարմանը հասնելուն պես էֆեկտիվ լարումը կրող ստրուկտորայի դասավորման որոշ տարրեր սկսում են կորցնել իրենց կողային նեցուկայի մի մասը և սահքի ուժերը պահելու նրանց ունակությունը նվազում է:

Համապատասխանաբար վերաբաշխվում են սահմանակի ուժերը: Սահմանակի ուժերը կենտրոնացվում են հպման կետերում տարրերի միջև, որոնք ունեն առավելագույն կողային դիմադրություն: Սահմանակի ուժերը նվազում են առավել շարժում կամ ավելանում՝ առավել կայուն հպման կետերում, և երբ նրանք հասնում են սահմանակի դիմադրությանը հպման որևէ կայուն կետերից մեկում, տեղի է ունենալ սկզբնական սահեցման շարժումը պոտենցիալ սահմանակի հարթությամբ:

Այդ ժամանակ ստրուկտուրային դասավորումը աստիճանաբար թուլացնում է և հետաքայում ուժերի հպմասարակությունը չի պահպանվում: Այժմ նկատվում է ձգուում դեպի կապերի առաջընթաց խզումը, քանի որ սահմանակի ուժերը հաղորդվում են մնացած հպման անվնաս կետերին, որն առաջ է բերում ստրուկտուրայի քայլքայում առանց բեռնվածքի հետագա ավելացման և որոնց ուժերի հպմասարակուման վերականգնման համար պահանջվում է լարման փոքրացում: Սակայն շարունակող դեֆորմացիայի ընթացքում կավի մասնիկները վերակառուցվում են այնպես, որ ընդունակ են կրկնուել էֆեկտիվ լարում և դիմադրելու սահմանակի ուժերին, որոնք ստիպում են մասնիկների սահել միմյանց վրայով՝ սահեցմանը դիմադրելու ձանապահովով: Միայն ստրուկտուրայի աստիճանաբար քայլքայման ժամանակ կավի ի վիճակի դառնում մորիլիզացնելու սահմանակի դիմադրության երկրորդ բազադրիչը, հենց այն դիմադրությունը, որը ցուցաբերում են միմյանց վրայով՝ սահող մասնիկները: Միայն այն ժամանակ, երբ բոլոր այդ էֆեկտիվ լարումները հաղորդվում են հպման կետերով, որտեղ տեղի է ունենում մասնիկների հարաբերական շարժում, շփման առկա դիմադրությունը լրիվ մորիլիզացվում է: Այս վիճակը ստեղծվում է, հպման միայն այն ժամանակ, երբ ստրուկտուրայի խախտված է և մասնիկները այնպես են վերակառուցված, որ բոլոր տեղի ունեցող շարժումները պարտական են մասնիկների մեկը մյուսի վրայով՝ սահեցմանը՝ սահմանակի հարթության երկարությամբ: Միայն դրանից հետո է զարգանում սահեցման մակերևույթը:

Երբ սահմանակի դիմադրությունը չ/օ՛ լիովին մորիլիզացվում է, սահմանակի հարթությամբ հպման յուրաքանչյուր բեռնված կետը աջակցում է սահմանի դիմադրությանը, մասսամբ դիմադրության շփման ձանապահում, որը համեմատական է էֆեկտիվ նորմալ լարմանը և հաղորդվում է հպման կետի միջոցով և մասսամբ էլ վերականգնվող կցումով: Կցման ցեմենտացման տիպը անկախ չի մասնակցի սահմանակի սահմանային դիմադրությանը: Նկ. 1, ըում ցույց է տրված թե ինչպես աստիճանաբար զարգանում է սահեցման միջմասնիկային դիմադրությունը սահմանակի պոտենցիալ հարթությամբ, քանի որ ձևափոխվում է կավի տարրը:

Վերևում արված վերլուծությունը, այսպիսով, ցույց է տալիս թե ինչ տեղի ունենում, երբ բաց ստրուկտուրայով կավը հնիթարկվում է մշտապետավելացող սահմանի դեֆորմացիայի: Լարում-դեֆորմացիայի կորագծի առաջին մասը հանգիստանում է շվանաված ստրուկտուրայի շեղածուման դիմադրության շփման սահմանակի ժամանակ, իսկ դեֆորմացիան, ըստ էության, իրենից ներկայացնում է ստրուկտուրայի առաջական ճկվածքի արդյունք: Լարման և դեֆորմացիայի միջև ընկած հարաբերությունը կորագծի վաղ մասի համար, առավելագույն դիմադրությունը, որը կարող է ցուցաբերել ստրուկտուրան մինչ բայց բայց մը սկսվելը, կախված է սոսկ երկարաժամկան դասավորումից և կցման դիմադրությունից հպման կետերում: Եղած դիտումները ցույց են տալիս, որ այն չի կախված էֆեկտիվ լարումների փոքր փոփոխություններից առաջացած գործադրված բեռնվածությունից:

Սահմանակի առոշակի լարման ժամանակ հասցվում է ստրուկտուրային զամանական առավելագույն դիմադրությանը և տեղի է ունենում քայլքայում սահմանի հպման կետերում, ամրող մինեներալային կմախրով մեկ: Այս պահից սահմանակի ժամանակ մինեներալային կմախրի դիմադրությունը շեղածում նը սկսում է թուլանալ, մինչ այդ, ըստ էության, ոչ մի քայլքայում տեղի չ

<sup>7</sup> Այսինքն մոլեկուլար և էլեկտրոստատիկ ուժերի հաշվին տեղի ունեցող կցումով (ժանոթի խմբ.):

ունենում հպման կետերում հարթակների երկայնությամբ, որոնք ներկայացնում են սահքի ուղղությունը: Ստրուկտուրայի քայլայման պրոցեսում նշված հպման կետերը «դադարում են գործուն լինելուց» (loose their foundation) և այդպիսով կորցնում են սահքի լարումը պահելու իրենց ունակությունը: Սակայն քանի զեռ տեղի է ունենում ստրուկտուրայի ջարդումը և առավել հաճախակի են դառնում մասնիկների փոխադարձ տեղաշարժումները, կավա ընդունակ է լինում մորիլիզացնել դիմադրության այլ բաղադրիչները, հատկապես կցման տիպի կապերը, որոնք գոյություն ունեն նոր վերականգնած հպման կետերում, և շփումը: Սահքի դիմադրության այդ բաղադրիչները լիովին մորիլիզացվում են, երբ ստրուկտուրայի քայլայմը խորանում է այն աստիճան, որ ողջ դեֆորմացիան հանդիսանում է մասնիկների կամ նրանց խմբերի միմյանց վրայով սահելու արդյունք. Նորմալ էֆեկտիվ լարումը հադրդվում է հպման կետերի միջոցով, որտեղ սահեցում է տեղի ունենում:

Լարում-դեֆորմացիայի կորագծի երկու բաղադրիչների հարաբերական կարեռությունը, ինչպես ցույց է տրված նկ. 1, Ե և Ը-ում, կախված է էֆեկտիվ լարման մեծությունից և դրանց փոփոխություններից, որոնք տեղի են ունենում սահքի ընթացքում: Ստրուկտուրայի դասավորման դիմադրության մասնակցությունը գործնականորեն չի կախված էֆեկտիվ լարումների փոփոխություններից, մինչդեռ շփման աջակցությունը (նկ. 1, Ը) զգալի շափով կախված է էֆեկտիվ լարման մեծությունից:

Վերոհիշյալ կոնցեպցիան սկզբունքորեն արդարացի է բոլոր նորմալ-կոնսոլիդացած կավերի համար: Լողուն կավերի բնորոշող գծերից են առավել սուր կերպով արտահայտված ստրուկտուրայի դիմադրության նվազումը պիկային կետն անցնելուց հետո, և այն, որ հարաբերականորեն մեծ դեֆորմացիան բաժանում է կետը, որտեղ ստրուկտուրան հանկարծակի սկսում է քայլայմը այն կետից, որում սահքի դիմադրությունը քայլայման վերցնային հարթությամբ լրիվ մորիլիզացվում է:

**Ստրուկտուրայի դասավորման առավելագույն դիմադրությունը**

Որոշ հետաքրքրություն է ներկայացնում այն գործոնների քննարկումը, որոնք զեկավարում են կորագծի պիկային կետով որոշվող ստրուկտուրայի առավելագույն դիմադրությունը (նկ. 1, Ե):

Միներալային կմախքի առավելաչափ դիմադրությունը կախված է նրա տարրերի երկարավական դասավորումից և դրանց միասին պահող կապերի դիմադրությունից:

Այստեղ կանխադրվում է այն, որ նորմալ-կոնսոլիդացած կավերում ստրուկտուրայի տարրերի երկրաշափական դասավորումը որոշվում է այն պայմանով, որ կոնսոլիդացիայից անմիջապես հետո ստրուկտուրայի դասավորումը ընդունակ է կրելու կոնսոլիդացման լարումը: Այլ խոսքով կոնսոլիդացիայի շրջանում ստրուկտուրայի դասավորումը անընդհատ փոփոխվում է, հարմարվելով աստիճանաբար աճող էֆեկտիվ լարումներին<sup>8</sup>: Կոնսոլիդացման ժամանակաշրջանի վերջում ստրուկտուրան գտնվում է ընության կողմից այնպես «անախագծված», որ այն ի վիճակի է կրելու էֆեկտիվ լարումը:

Կոնսոլիդացիայի ավարտից հետո կավը սովորաբար զարգացնում է որոշ լրացուցիչ դիմադրություն: Կավերի մեծամասնությունը ենթարկվում են որոշ

<sup>8</sup> Գրունտների հատկությունը սահքի ընթացքում՝ այնպես վերաբաշխել մասնիկները, որ դրանք կարողանան ընդունել աճող սահքի լարումները և կազմեն միներալային կմախքի համապատասխան ստրուկտուրան դասավորումը, փորձնականորեն ցույց է տրված Տեր-Ստեփանյանի կողմից զեռ 1936 թ. Կեմբրիցը (Մաս.) կայլաց Գրունտների մեխանիկայի հ հիմքաշինության առաջին համաշխարհային կոնքներին ներկայացրած զելուցման մեջ: Այդպիսի վերակառուցմար կատարվում է մի շարք հաջորդաբար ստրուկտուրային դասավորման ստեղծման միջոցով, իսկ անցումը մեկից մյուսին կատարվում է թոփշաճն (Տեր-Ստեփանյան Գ. Ի. Օ. վլայնին формы и расположения частиц на процессе сдвига в грунтах. Изв. АН Арм. ССР, 1948, 1(2):167—185. ժանոթ. խմբ.)

ուշացած կոնսոլիդացիայի, որն արդյունք է ստրուկտուրային դասավորման ոչ մեծ փոփոխությունների:

Այն նշանակում է կայունության աճը լրացուցիչ բեռնվածքի նկատմամբ, կրացուցիչ դիմադրությունը կարող է լինել նաև չկրող մասնիկների գանդաղ շարժման արդյունք, որը հանգեցնում է ստրուկտուրայում լրացուցիչ անցուկ-ներից հանդես գալուն: Ստրուկտուրայի կայունությունը կոնսոլիդացիայի ըր-չանիք ի վեր կարող է նույնպես փոխվել համան կետերում կցումների դիմադրությունը կարող են, օրինակ, աճել որպես կատիռնային փոխանակման, հողմանարման կամ լուծված նյութերի նստեցման արդյունք:

Տվյալ հոդվածում լուսաբանվող մեխանիկական պատկերը սկզբունքորեն արդարացի է, անկախ այն բանից, փոխվել է թե ոչ դիմադրությունը նստեցման կամ կոնսոլիդացիայի ժամանակից ի վեր: Նկարագրումը պարզեցնելու նպատակով, ըննարկումը ստորև, սակայն, կսահմանափակվի կավերով, որոնցում կցումների դիմադրության աճը նստեցման պահից կազմում է ամբողջ սահմանափակման միայն փոքր մասը: Նման տիպի նորմալ-կոնսոլիդացված լողուն կամի ստրուկտուրային դասավորման կայունությունը այսպիսով ապահովում է նրա ընդունակությունը պահպանելու գործություն մեջ դոյրություն ունեցող մի շարք կոնսոլիդացված լարումներ՝ պաշարի ոչ մեծ գործակցով. Այսեղից հետեւում է, որ ստրուկտուրայի դասավորման դիմադրությունը շեղածումանը սահմանափակ հարաբերականորեն կաճի այն կոնսոլիդացման ճնշմամբ, որին դիմանալու համար նա հարմարվել էր: Այսպիսով. կարելի է ենթադրել, որ նման նորմալ-կոնսոլիդացած կավերում, լողուն կավերը, ներառյալ ստրուկտուրայի առավելագույն դիմադրությունը, որը համապատասխանում է կորագծի պիկային մեծություններին (նկ. 1, Յ), գծայնորեն աճում էն կոնսոլիդացված ճնշման հետ միասին:

Եթե ստույգ է այն, որ ստրուկտուրային դասավորումը կախված է բերդուվածքից, որը կրելու համար նա հարմարեցրել է իրեն կամի կոնսոլիդացման ժամանակաշրջանում, ապա այստեղից հետեւում է, որ ոչ հիդրոստատիկ կոնսոլիդացման լարումների սովորական դեպքում ստրուկտուրային դասավորումը դանազան ուղղություններով տարրեր է: Այսպիսով, միներալային կմախքի առավելաչափ դիմադրությունը շեղածումանը լրացուցիչ սահման հետանքով փոփոխվում է, նայած թե որ ուղղությամբ են կիրառվում այդ լարումները:

Քերենք հետեւյալ համեմատությունը, մեծ և բարդ բաց պողպատե կոնստրուկցիան սյուներով, հեծաններով և անկրունագծային կապերով նախատեսված է անվանագության ոչ մեծ գործակցով ավյալ շարքի մշտապես դորձող արտաքին ուժերին դիմադրելու համար: Եթե այդ կոնստրուկցիան ենթարկենք տարրեր ուղղություններով կիրառվող լրացուցիչ արտաքին ուժերի ազգեցությանը, ապա առավելագույն մեծությունը, որին այդ ուժերը կարելի է հասցենել նախքան ստրուկտուրայի քանզման սկսվելը կախված է մեծ շափով ուժերի ուղղությունից, անկախ նրանից ենթարկվում է ստրուկտուրան սեղմման, ձգման, շեղածուման սահման ժամանակի կամ ոլորման: Տրամարանական կլինի ենթադրել, որ կոնստրուկցիայի բեռնավորման յուրաքանչյուր ավյալ մեթոդի համար նրա դիմադրությունը կլինի համեմատական այն սկզբնական լարումներին, որոնց կրելու համար այն հաշվարկված է:

### Կանտրականցիա

Ինչպես մենք այսօր պատկերացնում ենք, լողուն կավերի սահման վարքի պատկերը չի ընդգրկում որևէ ազգեցություն սահման դիմադրության վրա ծաման ժամանակի: Ֆուտեյի սողանքի լողուն կավի շատ ցածր սահման վարքի ցամաքացված դիմադրությունը որոշելուց հետո (տե՛ս ստորև) ենթադրվեց, որ այդ երե-

վուլֆը հնարավոր է բացատրել սահքն ուղղեցող ծավալի նվազման աղղեցությամբ (Bjerrum, 1961): Ալդպիսի համոզմանքը մասամբ հաստատվում էր փիրուն ավագի վրա կատարած մի քանի ցամաքեցված փորձերով, որոնք, սակայն, ներկայումս վերանայվեցին և համարվեցին անվստահելի: Ենթադրվում են, որ ծավալային փոփոխությունները, ստրուկտուրայի լրիվ քանդան ժամանակ, կապ չունեն մակրո-սահքի որևէ գեֆորմացիայի հետ և որ ստրուկտուրայի լրիվ քանդումը առաջացնող միկրո-սահքի խախտումները տեղի են ունենում քառսածե, բոլոր ուղղություններով: Ծավալի փոփոխման հետևանքով ազատված լներգիան ցրվում է որպես շերմություն:

Տեղին կլիներ համեմատել լողուն կավի ստրուկտուրայի շարդումը երեակայական գրունտում տեղի ունեցողի հետ, որտեղ մասնիկները բեկվում կամ կորացվում են միայն մի որոշակի լարման ժամանակ: Ալդպիսի երեակայական գրունտում ուղղաձիգ սեղմումից ազատված աշխատանքն ըստ երեսութիւնի նպաստելու մեկ ուղղությամբ տարվող սահքի դիմադրության հաղթահարմանը:

Մեծածավալ գեֆորմացիաների ժամանակ, երբ սահքի դիմադրությունը մորիլիգացվում է և ողջ գեֆորմացիան իրենից ներկայացնում է մասնիկների միջյանց վրայով սահելու արդյունք, ուղղաձիգ գեֆորմացիան կարելի կլիներ կապել հորիգոնական տեղաշարժով այնպես, որ նրանց վեկտորական գումագական համապատասխանի մասնիկների հարաբերական սահքի տեղաշարժմանը ըստ համապատասխանի դիմադրությունը համարվում է կիրառել էներգետիկական ներկայացվելով սահքի դիմադրության ծավալային փոփոխությամբ:

### ԶՅԱՄԱՔԵՑՎԱԾ ՍՍՀՔԻ ԴԻՄԱԴՐՈՒԹՅՈՒՆ

Եթե կավը հասցվի քայլայման գրության առանց ծավալի փոփոխության, ապա կրիստիկական սահքի լարումն իրենից կներկայացնի ցամաքեցված սահքի դիմադրություն: Հակառակ գործնականում հաճախակի կիրառվող գրություններին, այժմ հայտնի է դարձել, որ ցամաքեցված սահքի դիմադրությունը չի հանդիսանում բացարձակ մեծություն և կարող է փոփոխվել գրությունը չի հանդիսանում բացարձակ մեծություն և կարող է փոփոխվել սահմաններում կախված այն եղանակից, որով կավը հասցվում է քայլայման սահմաններում կախված այն եղանակից, որով կավը սահքով պարզ գործիքներով կատարված համեմատենք ուղղել սահքի գործիքներով կատարված սահքի գործիքների արդյունքը (Bjerrum and Landva, 1966): Եռառանցքային կոնկրիտացված սահքի գործարկումների առաջանական արդյունքները, ինչպես տրված է նկ. 2-ում: Երկու փորձարկումներն էլ անց են կացվել կոնսոլիդացված նմուշների վրա լայնական գեֆորմացիաների բացակայության պայմաններում, էֆեկտիվ ուղղաձիգ ճնշման տակ, որի տակ նմուշները գտնվում էին դաշտային պայմաններում:

Ինչպես վերը նշվել է լարում-գեֆորմացիայի կորագիծը կարող է բաժանվել երկու բաղադրիչների, որոնցից առաջինն իրենից ներկայացնում է ստրուկտուրայի գասավորման դիմադրություն, իսկ մյուսը՝ միջմասնիկային սահեցման դիմադրության աստիճանաբար զարգացում: Նման որակական բաժանումը կատարված է երկու ներքեւ դիմագրամներում՝ նկ. 2-ում: Լարում-գեֆորմացիայի կորագիծ համեմատումը նրա հիմնական բաղադրիչների հետ անմիջականորեն պատկերում է, որ երկու փորձարկումների բնորոշ գիծը՝ լուղուն կավի ցամաքեցված քայլայմումը, տեղի է ունենում գեֆորմացիայի միջցին, որի ժամանակ միջմասնիկային սահեցման դիմադրությունը լիովին չի մորիլիգացվել: Այլ կերպ սասած ցամաքեցված սահքի դիմադրությունն աճում է, երբ հասցվել է ստրուկտուրային գասավորման առավելագույն դիմադրությանը, ինչպես այն կարելի է դիտել նկ. 2-ում: Այս դրությը փափուկ կամերի վրա կիրառվող ցամաքեցված սահքի փորձարկման պայմանական մեկնության տեսակետից բացարձակ է թե ինչու ( $\sigma_1 - \sigma_3$ ) համար է իր պի-

կային նշանակությանը դեֆորմացիայի ժամանակ, որի օրոք  $\sigma_1/\sigma_3$  չի համապատասխան իր առավելագույն մեծությանը:

Իրականում, ինչպես արդեն նշվել է, շամաբեցված սահմանը զիմաղրությունը կախված է այն եղանակից, որով հասցվում է քայլայումը: Այդ դրությունը պատկերվում է շամաբեցված սահմանը զիմաղրության մեծությունների տարրերությամբ, ստացված երկու տարրեր փորձարկումներով (նկ. 2): Լողուն կավերի այսպիսի բնորոշ վարքը բացատրելի է դառնում, երբ փորձարկման արդյունքներն արտահայտված են նրա հիմնական բաղադրիչների միջոցով: Անհրաժեշտ է միայն ուշադրության առնել, որ շամաբեցված քայլայումը սովորաբար տեղի է ունենում, երբ սկսվում է ստրուկտորայի դասավորման շարժումը: Նման երևույթի պայմանների վերլուծումը պետք է, որ հիմնվեր ձևախախտված կավային գոտու տարրում առավելագույն սահմանը լարման հարցի բննարկման վրա և ոչ թե պոտենցիալ սահմանը լարման անցնող սահմանը լարումների հարցի:

Օրինակ նկ. 2-ում ցուց տրված երկու փորձարկումներում երկու նմուշները փորձարկվել են միատեսակ և մինչ սահմանը փորձարկմանը ենթարկվել են նախնական լարումների միևնույն շարքին  $\sigma_1=p$  և  $\sigma_2=\sigma_3=K_0 p$ : Սկզբում երկու նմուշներում  $45^\circ$  անկյան տակ դեպի գլխավոր լարումները թեքված հարթություններով գործում էին առավելագույն սահմանը՝ լարումները: Որոնք հավասար էին  $1/2(1-K_0)p$  կամ մոտ 0,25p: Հետագա շամաբեցված եռառանցքային փորձարկման ընթացքում լարման կիրառված սիստեմի ուղղությունը համընկավ կոնսոլիդացված լարումների ուղղության հետ և սահմանը լարումները գումարվել են թվարանականորեն: Այդպիսի պայմաններում ստրուկտորայի դասավորման քայլայման սկիզբն առաջանալու համար պահանջվող լրացուցիչ սահմանը լարումը կազմում է ընդամենը 0,09 p և ձևախախտված գոտու տարրում առավելագույն սահմանը լարումը 0,34p է: Պարզ սահմանը ուղղի փորձարկման ժամանակ սահմանը նախնական և կիրառված լարումները թվարանականորեն չեն գումարվում: Զցամաբեցված քայլայման ժամանակ հորիզոնական սահմանը լարումը կազմում է 0,19p, որոշ հիմնավորված ենթադրությունների ժամանակ լարումների բաշխման վերաբերյալ ձևախախտվող գոտու սարբում առավելագույն սահմանը լարումը կհանդիսանա մոտ 0,32p մեծություն, այսինքն մոտավորապես նույնն է ինչ որ եռառանցքային փորձարկման մեջ: Հետեւապես երկու փորձարկումներում էլ ստրուկտորային դասավորումը սկսում է քայլայմանը, երբ սահմանը գոտու տարրում սահմանը լարումը  $1/2(\sigma_1-\sigma_3)$  հասնում է նույն մեծության:

Լողուն կավի ոչ միատեսակ վաղքը սահմանը շամաբեցված զիմաղրության պահին կարելի է բացատրել, զոնե որակապես ուշադրությունը կենտրոնացնելով ստրուկտորայի դասավորման քայլայման վրա, ենթադրելով, որ առավելագույն սահմանը լարումը հանդիսանում է ինչպես սկզբնական ախտես էլ փորձարկման տարրեր մեխոններով դիտվող շցամաբեցված սահմանը զիմաղրության մի շարք մեծություններ (Aas, 1967; Di-Biago and Aas, 1967): Աղնամակը պարունակում է նաև համեմատություն կանխագուշակած մեծությունների հետ, որոնք հիմնվել են պարզեցրած ենթադրության վրա այն մասին, որ ստրուկտորային դասավորումը քայլայմանը է, երբ առավելագույն սահմանը լարումը ձևախախտվող գոտու տարրի սահմաններում հասնում է կրիտիկական մեծությանը, որն այստեղ ընդունվում է 0,30p:

1 աղյուսակում բերված համեմատությունը ցուց է տալիս, որ շատ գեպակերում, գոնե որակապես իրավացի է շցամաբեցված սահմանը զիմաղրության ընդհանուր սկզբունքը, որը հիմնված է առավելագույն սահմանը ստրուկտորային դասավորումը քայլայմանը է, երբ առավելագույն սահմանը բարձր ձևախախտվող գոտու տարրի սահմաններում հասնում է կրիտիկական մեծությանը, որն այստեղ ընդունվում է 0,30p:

<sup>9</sup> Աղյուսակ 1 տե՛ս էջ 146:

տալիս են կանխագուշակածների հետ համեմատած սահքի դիմադրության էականորեն ցածր մեծություններ: Այդ երկու փորձարկումներն են՝ անկոռտրուպ-կոնսոլիդացված նմուշների վրա անցկացրած զգման եռապանցքային փորձ և մեծ զաշտացին փորձ կարման հարթությունով, որի սահքի հարթակն ունի  $45^{\circ}$  անկյան թեքություն հորիզոնի հետ և շարժումը ուղղված է դեպի վեր: Այդ երկու փորձարկումների էական դիմքը ի տարրերություն մյուսների կայանում է նրանում, որ կավը մինչ բայրայումը հասցնող լրացուցիչ սահքի լարումը կիրառվում է սկզբնական սահքի լարմանը հակառակաղիր ուղղությամբ:

Արդյունքների համեմատական շարքը, որոնք ստացվել էին փորձարկումների ժամանակ, ցույց է տրված նկ. 3-ում: Լողուն կավի երկու նմուշներ՝ A և B կոնսոլիդացվել էին պարզ կարման սարքերում նույնական ուղղաձիգ և հորիզոնական սահքի լարումների աղղեցության տակ: Հետո նմուշները հասցրվել էին բայրայման՝ շամարեցված փորձարկումների պայմաններում ըստ որում մեկ նմուշը՝ A Կտրվել է նույն ուղղությամբ, ինչ որ և կոնսոլիդացնող սահքի լարումը: Բ նմուշը կտրվել է հակառակ ուղղությամբ: Ա նմուշի հետ անցկացրած փորձը, որում գործադրած սահքի լարման ուղղությունը նույնն էր, ինչ որ կոնսոլիդացիայի ժամանակ, ավել ավելի բարձր շամարեցված սահքի գիմաղրություն, քան սահքի ուժերին հակառակ ուղղված փորձարկումը: Այսպիսով այդ փորձերը, ինչպիս և դաշտի փորձարկումները, որոնց արդյունքները արված են աղյուսակ 1-ում պարզ ցույց տվեցին, որ ստրուկտուրայի դասավորման դիմադրության առավելը պակասում է սահքի՝ լարումների փոփոխության ժամանակ հակառակ կողմը: Միներալային կմախքը լիովին հարմարվել է սահքի լարման դիմադրությանը, որն աղղում է այն ուղղությամբ, որով նրանք կիրառված էին կոնսոլիդացիայի ժամանակ, այդ պատճառով ստրուկտուրային դասավորումն ընդունակ է ընկալելու ավելի մեծ լրացուցիչ սահքի լարում այդ ուղղությամբ և ավելի հեշտությամբ հասցվում է բայրայմանը հակառակ ուղղությամբ:

Այդ կարենոր հայտնագործումը ցույց է տալիս, որ նորմալ-կոնսոլիդացված կավի շամարեցված սահքի դիմադրությունը հանդիսանում է անհզուարուպ սահքի լարումների նկատմամբ, և յուրաքանչյուր ավել թեքություն ունեցող սահքի հարթությունը կախված է այն բանից թէ արդյո՞ք գործում են արտաքին կիրառված սահքի լարումները նույն ուղղությամբ, որպես կոնսոլիդացման լարումներ թէ հակառակը (նկ. 3):

Եթեված վերլուծումը հանդիսանում է առաջին որակական փորձը լողուն կավերի շամարեցված սահքի դիմադրության հասկացողությանը մոտեցնելու ուղղությամբ, հաշվի առնելով ստրուկտուրային կարկասի չարգման աղղեցությունը: Այդ աղղեցության մասին հարցի ընդուրկումը մեր վերլուծման մեջ ավելի հասկանալի է դարձնում լողուն կավերի շամարեցված վարքը: Ներկայացրած կոնցեպցիան կարող է ուղեցույց հանդիսանալ նշված խնդրի հետագա ուսումնասիրությունների համար:

### ՑԱՄԱՔԵՑՎԱԾ ՍԱՀՔԻ ԴԻՄԱԴՐՈՒԹՅՈՒՆ

Սահմանային ցամաքեցված սահքի դիմադրություն

Նորվեգիական նորմալ-կոնսոլիդացված լողուն կավերի սահմանային ցամարեցված սահքի դիմադրությունը համապատասխանում է կցման հատվածին  $c=0$  և սահքի դիմադրության անկյան լցո՞մու 0,60-ին համապատասխանող մեծությունը: Նույն այսպիսի մեծություն է ստացվում կոնսոլիդացված ցամարեցված փորձարկումների ժամանակ այն դիմադրությաի պահին, եթե լուվին մորիկիպացվում է սահքի դիմադրությունը, օրինակ  $c_1/c_3$  առավելացույն մեծության դեպքում: Պարզ փորձարկումն ուղղի սահքով նույնական հասցնում է սահքի դիմադրության այն մեծությանը, ինչ և եռառանցքային փորձարկման դեպքում: Հիմնական կավերով լանչե-

բում սկզբնական սողանքների սպառից ուսումնասիրությունների վրա, թենին կարողացավ եղակացնել, որ գոյություն ունի ընդհանուր համաձայնեցվածություն սահմանային ցամաքեցված սահքի դիմադրության դաշտային և լարորատոր մեծությունների միջև (Կեռոյ, 1966): Այսպիսով պարզ է, թե լողուն կավի սահմանային ցամաքեցված սահքի դիմադրությունը բավականին լավ հաստատված մեծություն է, որը կարող է ստուգորեն որոշվել լարորատոր պայմաններում:

Բազմիցս ցուց է տրվել, որ Սկանդինավյան լողուն կավերի սահմանային սահքի դիմադրությունը համարյա լիովին օժտված է շփման հատկությամբ, էֆեկտիվ կցմանն ընկած բաժինը մեծ չէ և հասնում է ընդհանուր ցամաքեցված սահքի դիմադրության 10 տոկոսից քիչ, որը դիտվում է, օրինակ, նորմալ-կոնսոլիդացված նմուշների վրա կատարվող եռառանցքային փորձարկումներում: Այս փաստը բացատրում է գետակի էրոզիվից առաջացած լանչերի մարմնի մեջ դիտվող կավերում փոքր գերկոնսոլիդացիայի ազդեցությունը: Հիմնվելով բավականին մանրազնին կերպով կատարված փորձերի վրա, ոչ բարձր կոնսոլիդացման ճնշման տակ համապատասխան իրական դաշտային պայմաններին, քեննին գտավ, որ կցման հատվածը իրենից ներկայացնում է 0,5 տ/մ<sup>2</sup> փոքր մեծություն (Կեռոյ, 1967):

Նախքան լողուն կավի կարողանա հասնել ցամաքեցված սահքի դիմադրության լրիվ մորիլիդացմանը, նա անցնում է ստրուկտուրայի սկզբնական բայրայման բավականաչափ բարդ փուլ: Որպես իլլուստրացիա այն բանի, թե ինչ է տեղի ունենում սահքի այդ վաղ շրջանի ընթացքում, նկ. 4-ում ցուց են տրված լարում-դեֆորմացիայի և ծավալ-դեֆորմացիայի փոփոխության կոռադերը ուղիղ սահքով կատարվող պարզ ցամաքեցված փորձարկման և եռառանցքային փորձարկման դեպքում Մանգլերուղի լողուն կավի համար:

Ստրուկտուրայի դասավորման չարդման ներգործությունը երկու փորձարկումներում միատեսակ են: Սակայն, նկատի ունենալով բնոնվածքի գործադրման տարրեր եղանակները, ստրուկտուրային դիմադրությունը կրում է տարրեր բնույթ երկու փորձարկումներում:

Ուղիղ սահքով փորձարկման մեջ ստրուկտուրային դասավորումը սկսում է բայրայմել, երբ գործադրած հորիզոնական սահքի լարման հարաբերությունը ուղղաձիգ կոնսոլիդացման ճնշման նկատմամբ կազմում է մոտավորապես 0,20: Ընդուակ մինչև այդ կետը ծավալի փոփոխությունները համեմատարար մեծ չեն: Ստրուկտուրայի չարդումը սկսվելուց հետո լարում-դեֆորմացիայի կորագիծը որոշվում է ստրուկտուրայի դիմադրության նվազման և մասնիկների միմյանց վրայով սահնելու պատճառով սահքի դիմադրության հետզհետեւ մորիլիդացման մոտավոր հավասարեցմաբ: Այդ փուլի ընթացքում լարում-դեֆորմացիայի կորագիծը կարող է մինչև համարյա հորիզոնական և ուղիղվել ծավալի զգալի կրճատմամբ, որը տեղի է ունենում համարյա անփոփոխ սահքի լարման տակ: Հետագա դեֆորմացիայի հետ մեկտեղ միջմասնիկային սահքի դիմադրության մորիլիդացումը հետզհետեւ գերազանցում է ստրուկտուրային դիմադրության նվազմանը և լարում-դեֆորմացիայի կորագիծը սկսում է նորից աճել. այն շարունակվում է մինչև սահքի դիմադրության լիակատար:

Եռառանցքային փորձարկման մեջ առավելագույն ստրուկտուրային սահմանակ (մոտ 1/3 տոկոս), մինչեւ միջմասնիկային սահնեցման դիմադրությունը՝ միայն հետզհետեւ աճում է դեֆորմացիայի աճմանը զուգընթաց: Հետաքանի լինում է այն, որ ստրուկտուրային դասավորման չարդումը սկսվելուց հետո արագությունը, որի տակ ստրուկտուրային դիմադրությունը պակասում է, կարող է գերազանցել այն արագությանը, որի ժամանակ մորիլիդացվում է դիմասնիկային սահնեցման դիմադրությանը և լարում-դեֆորմացիայի կորագիծը սկսում է կարող է ցուց տալ իշեցում: Մեծ դեֆորմացիաների ժամանակ և ծավալի զգալի փոփոխությունից հետո լարում-դեֆորմացիայի կորագիծը սկսում

է վերստին բարձրանալ մինչև որ վերջապես շի մորիլիզացվի սահմանային սահքի դիմադրությունը:

Կրիտիկական սահքի լարումը, որի ժամանակ սկսում է ջարդվել ստրուկտորայի դասավորումը, բայց երկութին, ավելի քիչ է ուղիղ սահքով պարզ փորձարկման ժամանակ, քան եռառանցքային փորձարկման մեջ: Այդ տարբերությունն արդյունք է այն բանի, որ եռառանցքային փորձարկման մեջ մենք հաշվի ենք առնում առավելագույն սահքի դիմադրությունը, որը գործում է տարրի սահմաններում և ողը ստացվում է ինչպես կոնսոլիդացման սահքի լարումներից, այնպես էլ գործադրած սահքի լարումներից, մինչեռ ուղիղ սահքով սովորական փորձարկման ժամանակ մենք սովորաբար հաշվի ենք առնում միայն գործադրված սահքի լարումները հորիզոնական հարթակներով, որոնք չեն հանդիսանում ամենաբարձր լարված հարթություններ: Եթե ուղիղ սահքով պարզ փորձարկման մեջ մենք հաշվարկենք կավում եղած առավելագույն սահքի լարումը, որի ժամանակ սկսում է քայլքայվել ստրուկտորային դասավորումը, ի նկատի ունենալով ինչպես կոնսոլիդացման սահքի լարումները, այնպես և գործադրված սահքի լարումները, մենք կդառնենք առավելագույն սահքի լարման մեծությունը, հավասար 0,33ր, որը շատ մոտ է եռառանցքային փորձարկման մեջ դիտավորությանը: Այսպիսով եռառանցքային փորձարկման և ուղիղ սահքով պարզ փորձարկման միջև գոյություն ունի միայն մի փոքր տարրերություն, բացի այն եղանակից, որով կիրառվում են սահեցման լարումները և այն մեթոդից, որով բացատրվում են ստացված արդյունքները:

### Ցացանցված-ցամաքեցված բայեցումներ

Սահքի ցամաքեցված փորձարկումների հետաքրքիր արդյունք է ներկայացնում իրենից մի եղանակացություն այն մասին, որ ստրուկտորան շխախտված լողում կավերում սկսում է քայլքայվել կրիտիկական սահքի լարման ժամանակ, որը կարող է սահմանային ցամաքեցված սահքի դիմադրությունից պակաս լինել: Կրիտիկական մեծությունից ցածր սահքի լարումների դեպքում կավը ցուցաբերում է բեկուն վարք, որը բնութագրվում է փոքր դեֆորմացիաներով և ծավալի քիչ փոփոխություններով: Լրացուցիչ դիմադրության մորիլիզացմանը պահանջում է մեծ դեֆորմացիաներ և ուղեկցվում է ծավալի մեծ փոփոխություններով:

Ցամաքեցված կավային տարրը, որը ենթարկվում է սահքի լարումներին կրիտիկական մեծության մոտերքում, այդ պատճառով գտնվում է ուժերի հավասարակշռության շատ բարդ փուլում: Սահքի լարման մի փոքր հանկարծակի աճումը սկիզբ է առնում ստրուկտորայի դասավորման լրիվ խախտում, որի արդյունքն է լինում մեծ դեֆորմացիաները և սեղմելիության մեծացումը: Ստրուկտորային դասավորման լրիվ քայլքայումը ուղեկցվում է ծակոտենային ճնշման միաժամանակյա բարձրացմամբ, և եթե ծակոտենային զուրը ի վիճակի չէ բավականաշակ արագ ցամաքեցվելու հավելած ծակոտենային ճնշումը ցրելու համար, ապա էֆեկտիվ լարման համապատասխան իշեցումը կարող է փոխհատուցել սահքի դիմադրության աճումը դեֆորմացիայի ժամանակ և աեղի է ունենում քայլքայում: Այսպիսով կավը բայց բայց փուլը է ցցամաքեցված սահքի ժամանակ բեռնվածքի փոքր ավելացման պատճառով, չնայած այն փաստին որ այն ունի զգալի լրացուցիչ դիմադրություն կամ ուղեկցվային դիմադրություն ցամաքեցված պայմաններում:

Այս երեսությը պարզաբանվում է նկ. 5-ում, որը ցուց է տալիս ուղեկցվային դիմադրության և ցցամաքեցված սահքի լարման ավելացման միջև եղած կախումը, դիտավոր ուղիղ սահքով պարզ փորձարկումներում, Մանգերուութի կավի օրինակով: Մի շաբթ նույնանման նմուշներ ենթարկվել են կոնսոլիդացիայի ծածկող շերտի կողմից կիրառվող բնական էֆեկտիվ ճնշմանը հավասար բեռնվածքով, որից հետո կտրվել է: Սահքի փորձարկման առաջին մասը իրագործվում էր ցամաքեցված պայմաններում: Հետո լարումների որոշակի աստիճանի տակ, որը փոփոխվում էր մի փորձարկումից մյուսին, ցա-

մաքեցված պայմանները փոխարինվում էին շամաքեցված պայմաններով։ Ալդիսով յուրաքանչյուր փորձարկման պրոցեսում որոշվում էր սեզերվային շամաքեցված սահմանական պրոցեսում մեծության մեծությանը, որը հանդս էր զալիս շամաքեցված սահմանական պրոցեսում մեծության մեծության ժամանակ։ Նկ. 5-ում ցույց է տրված քայլքայման ժամանակ դիտվող սահմանակ լարման և շամաքեցված սահման լարման միջև եղած կախումը, որի տակ գտնվում էր կավը շամաքեցված շամաքեցված պայմաններին փոխվելու ժամանակ։ Այն մեծությունը, որով քայլքայմուն սահման լարումը գերազանցում է 45° անկյան տակ անցկացրած գիծը, հանդիսանում է այսպիսի առկա գտնվող ուղղերթային շամաքեցված գիմադրությունը։ Ինչպես երևում է գծագրից, կրիտիկական սահմանի լարումը մոտավորապես կազմում է շերտերը ծածկող էֆեկտիվ ճնշման 0.18—0.20 և այդ մեծությունը համարյա չի կախված այն բանից, թե արդյոք կավը ենթարկվել է շամաքեցված սահմանի լարումների։ Եթե շամաքեցված սահմանի լարումը գերազանցում է կրիտիկական լարմանը, ապա ուղղերթային գիմադրությունը շամաքեցված սահմանի լարման աճման չափազանց թիւ է և ընդամենը մի քանի տոկոս է կազմում, այն իշնում է մինչև զերոյի, շամաքեցված սահմանի լարումը շամաքեցված սահմանի դիմադրությանը մոտենալու հետ մեկտեղ։

Ցամաքեցված սահմանից շամաքեցվածին պայմանների հանկարծակի փոխվելը կարող է տեղի ունենալ ցանկացած նորմալ կոնսոլիդացվող կավում։ Կողուն կավերի բնորոշ վարբեր պատկերված նկ. 5-ում, կապված է սարուկտուրային դասավորման դիմադրության բավականին մեծ իշեցման հետ։ ցարգումը սկսվելուց հետո այդ իշեցումն այնքան մեծ է, որ հավասարակշռում է միաժամանակ տեղի ունեցող սահմանի դիմադրության մորիլիզացիայի ազդեցությունը։

Սահմանի ժամանակ ցամաքեցված պայմանները շամաքեցված պայմաններով հանկարծակի փոխվելուց քայլքայման երևույթը անսովոր չէր կարող լինել Սկանդինավյան լողուն կավերով բնական լանջերի վրա։ Սահմանի այդ մեխանիզմը միգուց բացատրում է մի ամրուց շարք նախնական անբացատրելի սոլանքների երևույթը, որոնք տեղի են ունեցել միավորը գերազանցող պաշարի գործակցի օրոք։

Ֆուռեյի սողանքը, որի մասին նշվեց այս հոդվածի սկզբում, կարող է նման սահմանի քայլքայման մեխանիզմը պատկերող օրինակ ծառայել։ Սողանքի մանրամասնությունները ցույց են տրված նկ. 6-ում։ Ֆուռեյում գրունտային պայմանները բավականաշատ յուրահատուկ էին։ Նամասն գետը եղբակալող գարատափերը կազմված են գլխավորապես ալվազից, բայց պարունակում են մի քանի նուրբ 10 ամ հաստությունից ավելի թիւ, լողուն կավի անընդմեջ շիրտեր, որոնք ընկնում են զեղի գետը միջին թիրությամբ 6°։ Գետի ափին, մի փոքր սկզբնական սողանքի հետեւն րովի, զարտատափի մեծ մասը 200×800 մ ունեցող մեծությամբ, սկսեց սողալ զեղի գետը լողուն կավի շերտերից մեջի վրայով։ Շնորհիվ իր բնական թիրությանը, ի հաշիվ ծածկող շերտերի կազմին, կավային շերտը զեր մինչ սողալը ենթարկվել էր սահմանի լարմանը, որը գործում էր սահման հարթությանը զուգահեռ և որը միշինում կազմում էր մոտ 0,12° էֆեկտիվ լարումից։ Այս պայմաններում պաշարի գործակիցը քայլքայման դիմաց կազմում էր 3—4° սահմանային շամաքեցված դիմադրության վերաբերմաբը։ Ինչպես հաստատված է տեղում կատարված կարման փորձարկումից (Hutchinson, 1961), սահմանի լարումները կավային շերտում նույն այն քայլքայման կետի մոտ էր և, այդ պատճառով, լանջը գտնվում էր հավասարակշռության կոմմից (Hutchinson, 1961), սահմանի լարումները կավային շերտում նույն այն քայլքայման կետի մոտ էր և, այդ պատճառով, լանջը գտնվում էր հավասարակշռության դիմադրության վիճակում։ Փորձարկման արդյունքը բանվում որպես ցուցադրություն սահմանային շամաքեցված քայլքայմանը, որպես շուտագույն մեջնաբանվում է որպես այն փաստը ցուցադրություն ու սահմանային միջմասնիկային դիմադրության ավելացումը։ Գետի ափին առաջացող սկզբնական սողանքի

Հետեանքով ավելացան սահքի լարումները լողուն կավի բարակ շերտի մեջ սկզբնական սողանքի սահմանների շորջը: Սահքի գեֆորմացիաները գտնվեցին բավականին մեծ միներալային կմախքի սկզբնական ջարդման համար: Մասպատճառ անընդունակության հետեանքով ձակուտենային ճնշումը ավելացավ և համապատասխան էֆեկտիվ լարումների իշեցումը գեֆորմացիայի պրոցեսում հավասարաշահուց մորթիլզացված շփման մեծացումը: Քանի որ լողուն կավը միներալային կմախքի ջարդումից հետո ի վիճակի չէ պահելու սահքի լարումները, որոնց նա ավելի վաղ դիմադրում էր՝ ապա վերջիններս փոխադրվում են լանջի հարեան տեղամասերը: Այդ ճամապարհով միներալային կմախքի բարձրացումը է կավային շերտի երկայնությամբ՝ լանջնիվեր, մինչեւ, վերջապես, լանջը չի սողում. սա կարող է անվանվել ցամաքեցված-ցամաքեցված:

Այսպիսով՝  $\varphi=7^\circ$  մեծությունը, ստացված սողանքի հակադարձ հաշվարկման միջոցով, չի հանդիսանում շփման լիակատար մորթիլզացված մեծություն: Լողուն կավի միջին սահքի լարումը, որը համապատասխանում է այդ մեծությանը, ներկայացնում է պարզապես կրիտիկական սահքի լարում, որի ժամանակ միներալային կմախքը սկսում է լիովին բարձրացվել:

Ուզիր սահքով ցամաքեցված փորձարկման և ցամաքեցված եռառանցքային փորձարկման բերված համեմատությունը ցույց է տալիս, որ կրիտիկական սահքի լարման հարաբերությունը, որի ժամանակ ստրուկտուրային դասավորումը սկսում է ջարդվել՝ սահքի սահմանային ցամաքեցված դիմադրությանը կախված է այն եղանակից, որով բեռնվում է կավը: Այս նշանակում է նույնպես, որ կրիտիկական լարման պահին վաղ ցամաքեցված-ցամաքեցված քայլայման գործնականում իրագործելու հարաբերական վտանգը կախված է կայունության պրոբլեմից: Որքան նվազ է այն կրիտիկական սահքի լարումը, որի ժամանակ սկսվում է ջարդումն ի համեմատություն սահմանային ցամաքեցված սահքի դիմադրությանը, այնքան մեծ է գործնական հաշվարկի հետ կապված ոիսկը:

Նկ. 8-ում ցույց են տրված երեք տարբեր տիպի բեռնավորման պայմաններ և նրանց յուրաքանչյուրի համար տրվում է տիպային լարում-դեֆորմացիա կորագիծ ցամաքեցված փորձարկումների համար: Կրիտիկական սահքի ցիրագիծ ցամաքեցված փորձարկումների համար, որի ժամանակ ստրուկտուրային ջարդումը սկսում է աճել զեպի սահմանային ցամաքեցված սահքի դիմադրության, մենք կարող ենք անել հետեւյալ հետեւությունները: Ստրուկտուրային ջարդման գեղեցում առաջացած սեղմումից (նկ. 8, а) կրիտիկական սահքի լարումն ունի նույն, կամ քիչ փոքր մեծություն ինչ և սահմանային ցամաքեցված սահքի դիմադրությունը: Հետեւաբար այս դեպքում լարման զգալիորեն ավելի ցածր մեծության տակ, համեմատած սահմանային ցամաքեցված սահքի դիմադրությանը, սահքի ցամաքեցված-ցամաքեցված քայլայման դոյացման վտանգը մեծ չէ: Նույնանման եղրակացություն կարելի է անել այն դեպքի համար, երբ կավը ենթարկվում է լարման կողային բեռնավորման ժամանակ (նկ. 8, բ) ինչպես, օրինակ, լանջերի դեպքում, որոնք գոյացել են դեպի էրողիայից: Այս դեպքում կրիտիկական սահքի լարումը, որի տակ սկսվում է ստրուկտուրային դասավորման քայլայմումը, ավելի է, քան սահմանային ցամաքեցված սահքի դիմադրությունը: Սա համաձայնեցվում է հաստատված դրույթի հետ այն մասին, որ սահքի դիմադրության պարամետրերը, արտահայտված էֆեկտիվ լարումների միջոցով, լիովին մորթիլզացվել էին լողուն կավերի հետազոտված սկզբնական սողանքներում (Կեռու, 1966): Առավել կավերի համապատասխան դասավորման քայլայմումը, ավելի է, քան սահմանային ցամաքեցված սահքի դիմադրությունը: Սա համաձայնեցվում է հաստատված դրույթի հետ այն մասին, որ սահքի դիմադրության պարամետրերը, արտահայտված էֆեկտիվ լարումների միջոցով, լիովին մորթիլզացվել էին լողուն կավերի հետազոտված սկզբնական սողանքներում (Կեռու, 1966): Առավել կավերի համապատասխան դասավորման դասավորման քայլայմումը, ավելի է, էֆեկտիվ լարումներին, երբ պաշարի գործակիցը քայլայման դեմ մի փոքրաթեք հարթություններով հավասար է երկուսի կամ ավել մեծությանը:

## ԵԶՐԱԿԱՑՈՒԹՅՈՒՆՆԵՐ

Հողուն կավերի սահքի վարքի վերը նշված վերլուծության հիմնական արդյունքն է հանդիսանում այն, որ լողուն կավի սահքի ընթացքում կարելի է սահմանագիծ անցկացնել երկու բոլորովին տարրեր երևույթների միջև՝ շեղածումն և ստրուկտուրային դասավորման քայլայման միջն, որոնք տեղի են ունենում հարաբերականորեն փոքր դեֆորմացիաների պահին և սահեցման դիմադրության աստիճանաբար մորելիզացմամբ, որն ավարտվում է միայն զգալի ձևախախտումից հետո:

Բացի այդ ցուց է տրված, որ սահքի դիմադրության այդ երկու տեսակները կախված են տարրեր գործուներից: Ստրուկտուրայի դասավորման դիմադրությունը դորժանականորեն կախված չէ սահքի ժամանակ տեղի ունեցող էֆեկտիվ լարումների փոփոխությունից. նորմալ-կոնսոլիդացված կավերի համար այն զեկավարվում է կոնսոլիդացման լարումներով, որոնք կրելու համար հարմարեցվել է ստրուկտուրան: Սակայն, ստրուկտուրայի դասավորման առավելագույն դիմադրությունը հաստատուն մեծություն չէ, այդ կախված է այն բանից, թե ինչպես են կիրառվում քայլայումն առաջացնող լարումները: Բացի այդ բավականին հիմունքներ կան ենթադրելու համար, որ ստրուկտուրայի դասավորման դիմադրությունը կախված է բեռնվածքի տակ պահելու ժամանակից:

Մահմանորեն մորիլիզացվող ստրուկտուրայի դասավորման ջարդման ավարտի ժամանակ նորվեգիական լոկուն կավի սահքի դիմադրությունը գրիխավրապես պարտական է շփման դիմադրությանը և, այդ պատճառով, էականորեն կախված է էֆեկտիվ լարումից: Էֆեկտիվ կցումը կազմում է սահմանային սահքի դիմադրության ոչ մեծ մասը:

Նույնական ցուց տրվեց որ գործնական շատ զեպքերում սահքի դիմադրությունը, որը կարող է մորիլիզացվել, որպես է ստրուկտուրայի դասավորման առավելագույն դիմադրությամբ, և ոչ թե սահքի սահմանային դիմադրությամբ: Պարզ է, որ այս զեպքը տեղի ունի, եթե կայունությունը որոշվում է շցամաքեցված սահքի դիմադրությամբ: Սակայն գործնականում գործում են նաև ցամաքեցված պայմաններ, որտեղ ստրուկտուրային դասավորման դուրս կարող է առաջանել կրիտիկական կայուն դրություն բավականին ցածր լարման մեծության պահին համեմատած այն լարման հետ, որը համապատասխանում է լրիվ մորիլիզացված ցամաքեցված սահքի դիմադրությանը: Այդպիսին հանդիսանում է Ֆունկցիոն տեղի ունեցած սրղանքի ժամանակ դիմուլու համապատասխան պայմաններ, եթե լողուն կավի վրա հենված մի փոքրաթեր հողակոտոր այնպես ենթարկվեց լարման, որ ստրուկտուրային դասվորումը գտնվեց ջարդման մոտ: Նման զեպքերում սահքի լարման մի փոքր աճը կարող է սուր կերպով փոխել ցամաքեցված պայմանները ցամաքեցված ներով և քայլայումը ի վիճակի կլինի կատարվելու սահքի լարման տակ, որը էականորեն ցածր է, քան սահմանային ցամաքեցված սահքի դիմադրությունը: Այդպիսի վաղ ցամաքեցված-ցամաքեցված քայլայման վտանգը շատ բանում կախված է կայունության պրոբլեմի բնույթից, այն, օրինակ, փաստորեն բահարթի մեջ զեափ դանդաղ էրողիայով ինչպես նաև այն զեպքերում, որտեղ հորիզոնական կայունության պրոբլեմը առաջանում է հիմքի կամ հոգաթմրի կառուցումից:

---

Երկու հեղինակներն իրենց խորը երախտագիտությունն են հայտնում նորվեգիական զեռտեխնիկական ինստիտուտի իրենց կոլեգաներին մի շարք արժեքավոր գիտողությունների համար, որոնք նպաստեցին այս հոգավածի շարպմանն ու ուսումնասիրվող թեմայի պարզաբանմանը: Հատկապես բարձր բարպման գործի մեջ:

# ВЛИЯНИЕ СТРУКТУРЫ НА ПОВЕДЕНИЕ ПРИ СДВИГЕ НОРМАЛЬНО-КОНСОЛИДИРОВАННЫХ ПЛЫВУННЫХ ГЛИН<sup>1</sup>

д-р ЛОРИТС БЬЕРРУМ<sup>2</sup> и профессор д-р Т. КАЛЬДЕРОН КЕННИ<sup>3</sup>.

## ПРЕДИСЛОВИЕ К АРМЯНСКОМУ И РУССКОМУ ПЕРЕВОДАМ

Настоящая статья была представлена в качестве специального доклада на Европейскую геотехническую конференцию по свойствам сопротивления сдвигу природных грунтов, созванной в Осло в 1967 г. Задачей статьи было дать участникам конференции обзор наиболее современных результатов исследований сопротивления сдвигу морских плыжущих глин, выполненных в течение нескольких последних лет в Норвежском геотехническом институте.

В статье показано, что нормально-консолидированные морские глины обнаруживают хрупкое поведение. Кривая напряжение-деформация характеризуется крутым поднятием, за которым следует тече-сопротивление трения еще далеко не мобилизовано. Это хрупкое пове-дение отражает известную устойчивость структурного расположения, которое начинает разрушаться при известном критическом касатель-ном напряжении. В статье кроме того доказывается, что течение, про-исходящее при разрушении структуры, определяет во многих случаях выдержать плыжущую глину.

Исследования, проведенные после 1967 г., подтвердили основную точку зрения, изложенную в статье. Однако, было также установлено, что структурная устойчивость, которая управляет поведением невывес-релых нормально-консолидированных глин при малых деформациях является результатом запоздалой консолидации, которую глины пре-терпели со временем их осаждения. Таким образом, явление течения, наблюдаемое при испытаниях этих глин на сдвиг, идентично с эффек-том кажущейся преконсолидации, наблюдаемым при консолидацион-ных испытаниях глин, претерпевших запоздалую консолидацию; это описано в Публикации № 71 Института (Bjerrum, 1967.)

Этому открытию придается большое значение для выяснения рас-сматриваемого вопроса; поэтому рекомендуется, чтобы указанная статья о консолидационных свойствах нормально-консолидированных глин была прочтена до нынешней работы о поведении нормаль-но-консолидированных плыжущих глин при сдвиге.

Авторы признательны проф. д-ру техн. наук Г. И. Тер-Степаняну за выбор и перевод этой статьи для публикации в периодическом из-дании «Проблемы геомеханики».

Т. Кальдерон Кенни и Лоритс Бьеррум

Осло и Торонто, 5 сентября 1970.

<sup>1</sup> Специальный доклад, представленный Геотехнической конференции по сопротив-лению сдвигу в естественных грунтах и скальных породах, состоявшейся в 1967 г. в Осло (Bjerrum L. and Kenney T. C., Effect of structure on the shear behaviour of normally consolidated quick clays. Special Report, Proceedings, Geotechnical Conference Oslo 1967 on Shear Strength Properties of Natural Soils and Rocks, vol. II, p. 19 - 27. Oslo 1968).

<sup>2</sup> Директор Норвежского геотехнического института, бывш. президент Междуна-родного общества механики грунтов и фундаментостроения, Осло.

<sup>3</sup> Профессор гражданского строительства университета в Торонто, Канада.

**Реферат.** Подытожены результаты лабораторных и полевых работ, проведенных в последние годы в Норвежском геотехническом институте и позволяющих составить современную концепцию поведения плавунных глин, особо учитывая роль структурного расположения.

Когда глина с открытой структурой подвергается увеличивающейся деформации сдвига, первая часть кривой напряжения—деформации представляет собой меру сопротивления нетронутой структуры перекашиванию при сдвиге. При определении величины сдвигающего напряжения сопротивление структуры оказывается превзойденным и по всему скелету в точках контакта происходит разрушение. При дальнейшем деформировании и межчастичном скольжении глина мобилизует сцепление и сопротивление трению в точках контакта, размещенных на плоскостях, вдоль которых происходят скольжение.

Авторы полагают, что сопротивление структуры сильно зависит от консолидационных напряжений и не зависит от небольших изменений эффективных напряжений в процессе сдвига.

Показано, что недренированное сопротивление сдвига полностью зависит от сопротивления структурного расположения. В известных случаях структурное сопротивление представлено единственно критическим сдвигающим напряжением внутри элемента зоны сдвига. Дренированное сопротивление сдвига также зависит от сопротивления структурного расположения. Для достижения предельного дренированного сдвигающего сопротивления, которое зависит в основном от сопротивления трению, могут потребоваться большие деформации и изменения объема. Если дренирование в полевых условиях происходит медленно, то его результатом является вязкий переход от дренированных условий к недренированным, ведущий к резкому обрушению, хотя коэффициент безопасности, основанный на дренированных условиях, мог бы быть высоким.

## ВВЕДЕНИЕ

Со времени основания Норвежского геотехнического института в 1953 г. большая часть его исследовательской деятельности была посвящена отысканию методов решения проблем устойчивости и фундаментостроения на мягких морских глинах, на которых проживает большинство населения Норвегии. В этой работе наибольшее внимание уделялось плавунным глинам<sup>4</sup> вследствие того, что в них время от времени развиваются разрушающие оползни.

Ретроспективно можно сказать, что в этих исследованиях чередовались периоды накопления полевых данных, как, например, изучение оползней или проведение крупномасштабных полевых испытаний, и периоды интенсивной лабораторной работы, когда предпринимались попытки вести анализ полученных полевых данных в контролируемых условиях. В интервалах предпринимались попытки синтезировать полученные сведения для составления концепции или рабочей гипотезы, создающей обоснованную картину поведения глии; это было необходимо для применения на практике результатов работ и планирования дальнейших исследований.

Оползень в Фурре сыграл важную роль в короткой истории проводимой в Институте исследовательской деятельности. В 1959 г. огромный пласт песка скользнул по тонкому слегка наклонному слою плавунной глины. Этот оползень был тщательно изучен (Hutchinson, 1961). Результаты изучения показывают, что параметрами эффективного сопротивления сдвига были  $c' = 0$  и  $\varphi' = 7^\circ$ , весьма малые по величине по сравнению с теми, которые наблюдались в трехосных испытаниях на сдвиг. Период, следующий за изучением оползня в Фурре, стал исключительно интенсивным в исследовании плавунных глин. Стало ясно, что плавунные глины проявляют «структурную жесткость», свя-

<sup>4</sup> Плавунные глины—это те морские глины, которые после перемягания почти полностью теряют свою прочность.

анную со сцеплением, и начинают разрушаться при малых деформациях и определенном критическом сдвигающем напряжении. Критическое сдвигающее напряжение имело примерно ту же величину, какая наблюдалась у Фурре; оно изменилось по-разному, в зависимости от способа, которым глина подвергалась напряжению. В течение последующих лет было проведено исчерпывающее изучение основных компонентов сопротивления сдвига. В эту работу вошли лабораторные испытания и повторное рассмотрение имеющихся в наличии данных, полученных в результате полевого изучения. Итог этой работы частично изложен в статьях, представленных на данной конференции; исчерпывающий обзор дается в диссертации Кенни «Сопротивление сдвига природных плавунных глин» (Кеппеу, 1966).

Вслед за этими годами экспериментирования было сочтено целесообразным суммировать все эти попытки в виде современной концепции о поведении плавунных глин; изложение подобной концепции представлено в следующих разделах.

### СВОЙСТВА НАПРЯЖЕНИЯ-ДЕФОРМАЦИИ

Принимаемая нами сегодня общая концепция, касающаяся сопротивления сдвига глин, получила свое первоначальное развитие из опытов, проведенных на перемятых глинах. В сравнении с широким спектром природных глин перемятая глина представляет собой грунт с «несложной структурой» или вовсе не имеющей структуры». Для этой группы грунтов общепринятая оценка в отношении их сопротивления сдвига опирается на ряд упрощающих допущений, исключающих из рассмотрения структуру такой глины или деформацию сдвига. Введение упомянутых упрощающих допущений не оправдано для глин, в которых в период отложения или геологической истории развилось открытое или неустойчивое структурное расположение. В подобных глинах мобилизации сопротивления межчастичного скольжения предшествует перераспределение структуры<sup>5</sup>, что оказывает большое влияние на величину напряжения сдвига, которое может выдержать глина. Оценка поведения плавунных глин в отношении сопротивления сдвигу требует поэтому тщательного рассмотрения структурного расположения минеральных частиц и свойств напряжения-деформации.

#### *Структура и сопротивление сдвига*

Чтобы понять поведение плавунной глины в отношении напряжения-деформации, необходимо принять во внимание исключительно открытые расположение минерально-зернистого скелета. Он сложен из тонких плитообразных частиц, наподобие карточного домика. В период отложения эти частицы имеют тенденцию флокулировать, примыкая краями к грани, образуя цепи и скопления, соединение которых образовало первоначальное структурное расположение глины.

Устойчивость такого открытого структурного расположения отчасти регулируется геометрией структурного расположения, а отчасти — сопротивлением связей сцепления в точках контакта, которые «сваривают» частицы вместе. Мы можем различать два разных вида связей сцепления: один, вызванный ионными и ван-дер-Ваальсовыми силами притяжения между частицами, и другой, вызванный цементирующим

<sup>5</sup> В данной статье термин «структурата» (*structure*) относится к пространственному расположению минеральных частиц, для обозначения которых ранее некоторыми авторами применялся термин «строение» (*fabric*).

действием химического осаждения. Принципиальное различие между обоими видами связи выявляется при сдвиге, при котором первый вид сцепления, по крайней мере частично, вновь развивается, когда образуются новые точки соприкоснования, тогда как у второго вида сцепления этого не наблюдается. В дополнение к связям сцепления может иметь место, конечно, и сопротивление трения в каждой нагруженной точке соприкоснования.

Благодаря гибкости отдельных частиц, сопротивлению связей и открытому характеру структурного расположения, минеральный скелет обладает относительной гибкостью. Он способен по-существу выдерживать дополнительное напряжение, не испытывая разрушений в контактах частиц, если только дополнительное напряжение не превышает определенной критической величины. При таком условии структура подвергается деформации, но ее поведение имеет упругий характер, и после устранения напряжения прежние форма и объем по-существу восстанавливаются. Первая часть кривой напряжения-деформации непосредственно характеризует сопротивление минерально-зернистого скелета его перекашиванию (рис. 1)<sup>6</sup>.

При определенном критическом сдвигирующем напряжении достигается максимальное сопротивление структурного расположения. В этой точке происходит разрушение значительного количества связанных контактов между частицами по всей структуре грунта. Последующее перераспределение внутренних напряжений приводит к постепенному разрушению структурного расположения, сопровождаемому дальнейшими деформациями, и способность структуры сопротивляться напряжениям сдвига постоянно снижается. На рис. 1, б схематически показано, как при деформировании глины постепенно мобилизуется, преодолевается и разрушается сопротивление структурного расположения. Это — полное разрушение. В конечном счете разрушение происходит вследствие скольжения по плоскостям. Проследим за развитием такого разрушения по плоскостям во время деформирования.

До достижения критического напряжения, при котором структура начинает разрушаться, эффективные напряжения воспринимаются элементами структуры, обладающими достаточной гибкостью для присоединения к деформации. В течение этой стадии точки соприкоснования в потенциальной плоскости сдвига остаются по-существу неповрежденными. При достижении критического напряжения некоторые элементы структурного расположения, несущие эффективное напряжение, начинают терять часть своей боковой поддержки и их способность удерживать силы сдвига уменьшается. Соответственно происходит перераспределение сил сдвига. Силы сдвига концентрируются в точках соприкоснования между элементами, обладающими наибольшим боковым сопротивлением. Силы сдвига уменьшаются в наиболее подвижных и увеличиваются в наиболее устойчивых точках соприкоснования; когда они достигают сопротивления сдвига в одной из устойчивых точек соприкоснования, происходит начальное движение скольжения по потенциальной плоскости сдвига.

К этому времени структурное расположение постепенно ослабевает и в дальнейшем равновесие сил не сохраняется. Теперь наблюдается тенденция к прогрессирующему разрыву связей, так как силы сдвига передаются остальным неповрежденным точкам контакта, что ведет к разрушению структуры без дальнейшего увеличения нагрузки, и действительно, для восстановления равновесия сил требуется умень-

<sup>6</sup> Рисунки см. на стр. 154—160.

шение напряжения. Однако в течение продолжающегося деформированного напряжение и сопротивляются так, что могут нести эффективное скользить одна по другой, путем сопротивления скольжению. Только при постепенном разрушении структуры глина оказывается в состоянии мобилизовать второй компонент сопротивления, а именно то сопротивление, которое оказывают скользящие друг по другу частицы. Лишь когда все эти эффективные напряжения передаются через точки контакта, при которых имеет место относительное движение частиц, наличное сопротивление трению мобилизуется полностью. Это состояние достигается, очевидно, только тогда, когда структура нарушена и частицы перестроены таким образом, что все происходящие перемещения оказываются обязаны скольжению частиц друг по другу вдоль плоскости сдвига. Только тогда развивается поверхность скольжения.

Когда сопротивление сдвигу  $\tau/\sigma'$  полностью мобилизуется, каждая нагруженная точка контакта по плоскости сдвига содействует сопротивлению сдвигу, частично путем сопротивления трению, пропорциональному эффективному нормальному напряжению и передаваемому через точку контакта, и частично—восстановливающимся сцеплением<sup>7</sup>. Цементационный тип сцепления, несомненно, не будет участвовать в предельном сопротивлении сдвигу. На рис. 1,с показано, как постепенно развивается межчастичное сопротивление скольжению по потенциальной плоскости сдвига, по мере того как деформируется элемент глины.

Сделанный выше анализ дает картину того, что происходит, когда глина с открытой структурой подвергается постоянно увеличивающейся деформации сдвига. Первая часть кривой напряжения—деформации есть мера сопротивления неповрежденной структуры перекашиванию при сдвиге, и деформация, в сущности, представляет собой результат упругого прогибания структуры. Соотношение между напряжением и деформацией для этой ранней части кривой и максимальное сопротивление, которое может оказать структура, прежде чем начнется разрушение, зависит только от сопротивления связей в точках контакта; имеющиеся наблюдения показывают, что оно не зависит от малых изменений эффективных напряжений, вызванных приложенной нагрузкой.

При определенном сдвигющем напряжении достигается максимальное сопротивление структурного расположения и происходит разрушение при сдвиге в точках контакта по всему минеральному скелету. С этого момента сопротивление минерального скелета начинает уменьшаться. До этого по существу не происходило никаких разрушений, в точках контакта вдоль плоскостей, представляющих направление сдвига. В процессе разрушения структуры указанные точки контакта «перестают быть действенными» (lose their foundation) и, таким образом, теряют свою способность выдерживать сдвигающие напряжения. Однако, пока происходит разрушение структуры и все более учащаются взаимные перемещения частиц, глина оказывается способной мобилизовать другие компоненты сопротивления, а именно, связи типа сцепления, существующие во вновь возникших точках контакта, и трение. Эти компоненты сопротивления сдвигу полностью мобилизуются, когда разрушение структуры продвинется настолько глубоко, что вся деформация станет результатом движения частиц или групп час-

<sup>7</sup> Т. е. сцеплением за счет молекулярных и электростатических сил. (Прим. ред.).

тиц друг по другу; нормальное напряжение передается только через точки контакта, в которых происходит скольжение.

Относительная важность двух компонентов кривой напряжения деформации (рис. 1, б и с) зависит от величины эффективных напряжений и их изменений, происходящих в процессе сдвига. Участие сопротивления структурного расположения практически не зависит от изменения эффективных напряжений, между тем участие трения (рис. 1, с) в значительной степени зависит от величины эффективного напряжения.

Описанная выше концепция в принципе справедлива для всех нормально-консолидированных глин. Характерными чертами плавуновых глин являются очень резко выраженное уменьшение структурного сопротивления после того, как пройдена пиковая точка, а также то, что относительно большая деформация отделяет точку, в которой структура начинает внезапно разрушаться, от точки, в которой сопротивление сдвигу по конечной плоскости разрушения мобилизуется полностью.

### *Максимальное сопротивление структурного расположения*

Некоторый интерес представляет рассмотрение факторов, которые управляют максимальным сопротивлением структуры, определяемым пиковой точкой кривой на рис. 1, б.

Максимальное сопротивление минерального скелета зависит от геометрического расположения его элементов и удерживающего их вместе сопротивления связей. Здесь постулируется, что в нормально-консолидированных глинах геометрическое расположение элементов структуры определяется тем условием, что тотчас же после консолидации она способна нести консолидационное напряжение. Другими словами, в период консолидации структурное расположение непрерывно изменяется, приспосабливаясь к постепенно увеличивающимся эффективным напряжениям<sup>8</sup>. К концу периода консолидации структура оказывается таким образом «спроектированной» природой, что она как раз в состоянии нести эффективное напряжение.

После завершения консолидации глина, вообще говоря, развивает некоторое дополнительное сопротивление. Большая часть глин подтверждается определенной запоздалой консолидации в результате небольших изменений структурного расположения; это означает повышение устойчивости по отношению к дополнительной нагрузке. Дополнительное сопротивление может также быть результатом медленного передвижения ненарушенных частиц, ведущего к возникновению дополнительных «шпонок» в структуре. Со временем консолидации устойчивость структуры может также измениться вследствие изменения сопротивления связей в точках контакта; последнее может, например, увеличиться из силы катионного обмена, выветривания или как результат осаждения растворенных веществ.

<sup>8</sup> Свойство грунтов в процессе сдвига так перераспределять частицы, чтобы они могли воспринимать все возрастающие сдвигающие напряжения и создавать соответствующее структурное расположение минерального скелета, было экспериментально показано Тер-Степанином еще в 1936 г. в докладе I Международному конгрессу по механике грунтов и фундаментостроению в Кембридже, Масс. Такая перестройка происходит путем создания последовательного ряда структурного расположения, а переход от одного к другому совершается скачкообразно (Г. И. Тер-Степанин, О влиянии формы и расположения частиц на процесс сдвига в грунтах. Изв. АН Арм. ССР, 1948, 1(2) : 167—185. Прим. ред.).

Механическая картина, рассмотренная в данной статье, в принципиальном справедлива независимо от того, изменилось ли или нет сопротивление со времени отложения или консолидации. В целях упрощения описания, нижеследующее обсуждение будет, однако, ограничиваться глинами, в которых увеличение сопротивления связей с момента отложения представляет незначительную часть полного сопротивления сдвига. Устойчивость структурного расположения нормально-консолидированной плытунной глины этого типа обеспечивает, таким образом, ее способность выдерживать существующий в грунте ряд консолидационных напряжений с небольшим коэффициентом запаса. Отсюда следует, что сопротивление структурного расположения перекашивающим давлениям, для противостояния которым оно приспособилось. Итак, можно полагать, что в подобных нормально-консолидированных глинах включая и плытунные глины, максимальное сопротивление структуры, соответствующее пиковым значениям кривой на рис. 1, б, линейно возрастает вместе с консолидационным давлением.

Если верно то, что структурное расположение зависит от нагрузки, то отсюда следует, что в обычном случае негидростатических консолидационных напряжений структурное расположение различно в разных направлениях. Таким образом, максимальное сопротивление минерального скелета перекашиванию в результате добавочного сдвигающего напряжения меняется в зависимости от направления, в котором прилагаются эти напряжения.

Приведем следующее сравнение. Большая сложная открытая стальная конструкция с колоннами, балками и диагоналями спроектирована с небольшим коэффициентом запаса для оказания сопротивления данному сочетанию постоянно действующих внешних сил. Если эту конструкцию подвергнуть воздействию дополнительных внешних сил, приложенных к ней в разных направлениях, то максимальная величина, до которой можно довести эти силы, прежде чем начнется разрушение конструкции, зависит во многом от направления сил, независимо от того, подвергается ли конструкция сжатию, растяжению, перекашиванию при сдвиге или кручению. Логично предположить, что для любого данного метода нагружения конструкции ее сопротивление будет пропорциональным тем начальным напряжениям, на которые она рассчитана.

### Контрактенция

В картину поведения плытунных глин при сдвиге, как это представляется сегодня, не включено какое-либо воздействие на сопротивление сдвига вследствие изменения объема, происходящего при разрушении структуры. Вскоре после того, как было определено весьма низкое сопротивление сдвига плытунной глины оползня у Фурре (см. ниже), стали полагать, что это явление можно объяснить влиянием уменьшения объема, сопровождающего сдвиг (Bjergum, 1961). Такая уверенность частично подтверждалась некоторыми дренированными опытами над рыхлым песком, которые однако в настоящее время были пересмотрены и найдены ненадежными. Полагают, что объемные изменения при полном разрушении структуры не связаны с какой-либо определенной деформацией макросдвига и что микросдвиговые нарушения, вызывающие полное разрушение структуры, происходят беспорядочно

во всех направлениях. Энергия, высвободившаяся вследствие изменения объема, рассеивается в виде теплоты.

Было бы уместно сравнить разлом структуры плавунной глины с тем, что могло бы иметь место в воображаемом грунте, где частицы разламываются или изгибаются при одном определенном напряжении. В таком воображаемом грунте работа, высвободившаяся при вертикальном сжатии, очевидно, не будет способствовать преодолению сопротивления сдвигу в одном определенном направлении.

При значительных деформациях, когда мобилизуется сопротивление сдвигу и вся деформация является результатом скольжения частиц друг по другу, вертикальную деформацию можно было бы связать с горизонтальным смещением, так, чтобы их векториальная сумма отвечала среднему направлению относительного передвижения частиц при сдвиге. Лишь в этом случае возможно применить энергетические представления, включив компоненту объемного изменения сопротивления сдвигу.

### НЕДРЕНИРОВАННОЕ СОПРОТИВЛЕНИЕ СДВИГУ

Если глину довести до состояния разрушения без изменения объема, то критическое сдвигающее напряжение будет представлять собой недренированное сопротивление сдвигу. В противоположность применяемому часто на практике допущению, теперь стало известно, что недренированное сопротивление сдвигу не есть абсолютная величина и оно может изменяться в широких пределах, в зависимости от способа, которым глина доводится до разрушения. В качестве иллюстрации сравним результат испытаний на консолидированный сдвиг при постоянном объеме, проведенных в простых приборах на прямой сдвиг (Bjerrum and Landva, 1966) и результаты консолидированно-недренированного трехосного испытания, как показано на рис. 2. Оба испытания проводились на образцах, консолидированных в условиях отсутствия поперечных деформаций, при эффективном вертикальном давлении, которое испытывали образцы в природных условиях.

Как отмечалось выше, кривая напряжения-деформации может быть разделена на два компонента, один из которых представляет собой сопротивление структурного расположения, а другой—постепенное развитие межчастичного сопротивления скольжению. Подобное качественное разделение было произведено на нижних двух диаграммах на рис. 2. Сравнение кривой напряжения—деформации с его основными компонентами непосредственно иллюстрирует характерную черту обоих испытаний: недренированное разрушение плавунной глины происходит при деформации, при которой далеко не полностью мобилизуется сопротивление межчастичного скольжения. Иначе говоря, недренированное сопротивление сдвигу развивается, когда достигнуто максимальное сопротивление структурного расположения (рис. 2). С точки зрения общепринятой интерпретации недренированного испытания на сдвиг мягких глин это положение объясняет, почему  $(\sigma_1 - \sigma_3)$  достигает пикового значения при деформации, при которой  $\sigma'_1/\sigma'_3$  не достигло своей максимальной величины.

На самом деле, как уже отмечалось, недренированное сопротивление сдвигу зависит от способа, которым достигается разрушение. Это положение иллюстрируется различием величин недренированного сопротивления сдвигу, полученного двумя различного рода испытаниями (рис. 2). Такое характерное поведение плавунных глин объяс-

няется, когда результаты испытания выражены через его основные компоненты. Необходимо лишь принять во внимание, что недренированное разрушение обычно происходит, когда начинается разлом структурного расположения. Анализ условий такого явления должен был бы основываться на рассмотрении вопроса о максимальном сдвигающем напряжении в элементе деформированной глинистой зоны, а не на общепринятом рассмотрении вопроса о сдвигающих напряжениях по потенциальной плоскости сдвига.

Например, в двух опытах, показанных на рис. 2, оба образца испытывались одинаково и до опыта на сдвиг подвергались одной и той же серии первоначальных напряжений,  $\sigma_1' = p$  и  $\sigma_2' = \sigma_3' = K_0 p$ . Первоначально в обоих образцах максимальные сдвигающие напряжения, действующие в плоскостях, наклоненных под углом  $45^\circ$  к главным напряжениям, равнялись  $1/2(1-K_0)p$ , или примерно  $0,25p$ . В течение дальнейшего недренированного трехосного испытания направление приложенной системы напряжений совпадало с направлением консолидационных напряжений, и сдвигающие напряжения складывались арифметически. В таких условиях дополнительное сдвигающее напряжение, требуемое для того, чтобы вызвать начало разлома структурного расположения, составляет всего около  $0,09p$ , при максимальном сдвигающем напряжении в элементе деформированной зоны —  $0,34p$ . В прямом испытании на простой сдвиг начальное и приложенное напряжения сдвига арифметически не складываются. При недренированном разрушении горизонтальное сдвигающее напряжение составляет  $0,19p$ ; при некоторых обоснованных предположениях относительно распределения напряжений, максимальное сдвигающее напряжение в элементе деформируемой зоны будет представлять величину порядка  $0,32p$ , т. е. приблизительно то же, что и в трехосном испытании. Следовательно, в обоих испытаниях структурное расположение начинает разрушаться, когда сдвигающее напряжение  $1/2(\sigma_1 - \sigma_3)$  в элементе зоны сдвига достигает той же величины.

Различие в поведении плывинной глины при недренированном сопротивлении сдвигу можно объяснить, по крайней мере качественно, концентрируя внимание на разрушении структурного расположения и полагая, что максимальное сдвигающее напряжение является следствием как начальной, так и приложенной системы напряжений. В табл. 1 перечисляется ряд величин недренированного сопротивления сдвигу, наблюдаемых при разных методах испытания (Aas, 1967; Di-Biagio and Aas, 1967). Таблица содержит также сравнение с предсказываемыми величинами, основанными на упрощенном предположении о том, что структурное расположение разрушается, когда максимальное сдвигающее напряжение в пределах элемента деформируемой зоны достигает критической величины, за которую здесь принята  $0,30\ p$ .

Сравнение, приведенное в табл. 1, показывает, что во многих случаях, по крайней мере, качественно справедлив общий принцип анализа недренированного сопротивления сдвигу, основанный на изучении максимального сдвигающего напряжения, при котором начинает разрушаться структурное расположение. Но в то же время сравнение показывает, что особенно выделяются два типа испытаний, дающих существенно более низкие величины сопротивления сдвигу, чем предсказываемые. Эти два испытания представляют собой трехосное испытание, проведенное на анизотропно-консолидированных образцах, и большое полевое испытание в срезных приборах с плоскостью сдвига, наклоненной под углом  $45^\circ$  к горизонтали, при движении, направленном вверх. Существенной чертой этих двух испытаний, в отличие от осталь-

ных видов испытаний, служит то обстоятельство, что добавочное сдвигающее напряжение, доводящее глину до разрушения, прилагается в направлении, противоположном направлению сдвигающего напряжения.

*Актуальная Таблица 1*

Известно, что  $\sigma_u/p$  при  $\tau = \sigma_u/p$  и  $\tau = 0$  для глины из Манглеруда (наблюденные Н и предсказанные П значения)

Средние значения недренированного сопротивления сдвигу  $\sigma_u/p$  плавунной глины из Манглеруда (наблюденные Н и предсказанные П значения)

Форма прибора и тип испытания	Типы испытания	Н	П
Форма прибора и тип испытания	Вертикальный	[+]	0.12
	45°	◇	0.14
	Горизонтальный	+	0.18
Форма прибора и тип испытания	Горизонтальный		0.24
	45° вниз		0.30
	45° вверх		0.08
	Сжатие	—○—	0.29
Форма прибора и тип испытания	Растяжение	—+—	0.13
	Простые испытания на прямой сдвиг	—□—	0.18

Сравнительная серия результатов, полученная при испытаниях, показана на рис. 3. Два образца плавунной глины A и B были консолидированы в простых срезных приборах под действием идентичных вертикальных и горизонтальных сдвигающих напряжений. Затем образцы были доведены до разрушения в условиях недренированных испытаний; при этом один образец A был сдвинут в том же направлении, что и консолидированно-сдвигающее напряжение. Образец B был сдвинут в противоположном направлении. Опыт с образцом A, в котором направление приложенного сдвигающего напряжения было таким же, что и во время консолидации, дал большее недренированное сопротивление сдвигу, чем испытание с противоположным направлением сдвигающих сил. Таким образом, эти испытания, так же как и полевые опыты, результаты которых приведены в табл. 1, ясно показали, что максимум сопротивления структурного расположения уменьшается при изменении направления сдвигающих напряжений на обратное. Минеральный скелет целиком приспособился к сопротивлению сдвигающим напряжениям, действующим в направлении, в котором они были приложены во время консолидации; поэтому структурное расположение способно воспринимать большее дополнительное сдвигающее напряжение в этом направлении и легче доводится до разрушения при противоположном.

Это важное открытие показывает, что недренированное сопротивление сдвигу нормально-консолидированной глины является анизотроп-

ным по отношению к сдвигающим напряжениям, возникшим во время консолидации, и для любого данного наклона плоскости сдвига зависит от того, действуют ли внешние приложенные напряжения сдвига в том же направлении, что и консолидационные, или в противоположном (рис. 3).

Приведенный анализ представляет собой первую качественную попытку приблизиться к пониманию недренированного сопротивления сдвига плавунных глин путем учета влияния разлома структурного каркаса. Включение вопроса об этом влиянии в наш анализ приводит к лучшему пониманию недренированного поведения плавунных глин: Представленная концепция может служить ценным ориентиром для дальнейшего изучения этой проблемы.

### ДРЕНИРОВАННОЕ СОПРОТИВЛЕНИЕ СДВИГУ

#### *Предельное дренированное сопротивление сдвига.*

Предельное дренированное сопротивление сдвига Норвежских нормально-консолидированных плавунных глин, соответствует отрезку сцепления  $c' = 0$  и углу сопротивления сдвига, отвечающему  $\tan \phi'$  около 0,60. Такая же величина получается при консолидированно-недренированных испытаниях при деформации, при которой полностью мобилизуется сопротивление сдвига, например, при максимальной величине  $\sigma_1/\sigma_3'$ . Простое испытание на прямой сдвиг также приводит к той же величине сопротивления сдвига, что и трехосное испытание. Опираясь на исчерпывающее изучение начальных оползней на склонах, сложенных плавунными глинами в Скандинавии, Кенни смог заключить, что существует общая согласованность между полевыми и лабораторными величинами предельного дренированного сопротивления сдвига (Кенпней, 1966). Таким образом, ясно, что предельное дренированное сопротивление сдвига плавунной глины—довольно хорошо установленная величина, которая может быть достоверно определена в лабораторных условиях.

Было неоднократно показано, что предельное сопротивление сдвига Скандинавских плавунных глин почти всецело обладает природой трения. Доля, приходящаяся на эффективное сцепление, невелика и достигает менее 10% общего дренированного сопротивления сдвига, наблюдаемого, например, в трехосных испытаниях на нормально-консолидированных образцах. Этот факт говорит о незначительном влиянии небольшой переконсолидации, которая наблюдается в глинах, в теле склонов, образованных эрозией ручья. Основываясь на довольно тщательно проделанных опытах при очень невысоких консолидационных давлениях, соответствующих действительным полевым условиям, Кенни нашел, что отрезок сцепления представляет собой величину, меньшую, чем  $0,5 \text{ t/m}^2$  (Кенпней, 1967).

Прежде чем плавунная глина сможет достичь состояния полной мобилизации дренированного сопротивления сдвига, она проходит довольно сложную стадию начала распада структуры. Для иллюстрации того, что же происходит в течение этой ранней стадии сдвига, на рис. 4 показаны кривые напряжения-деформации и кривые изменения объема-деформации для простого дренированного испытания на прямой сдвиг и трехосного испытания плавунной глины из Манглеруда. Влияние разлома структурного расположения одинаково в обоих испытаниях. Однако, ввиду разных способов приложения нагрузки, структурное сопротивление в двух испытаниях различно.

В испытании на прямой сдвиг структурное расположение начинает разрушаться, когда отношение приложенного горизонтального

сдвигающего напряжения к вертикальному консолидационному давлению составляет примерно 0,20. Вплоть до этой точки изменения объема сравнительно невелики. Вслед за началом разлома структуры кривая напряжения-деформации определяется приблизительным уравниванием уменьшения сопротивления структуры и постепенной мобилизацией сопротивления сдвигу вследствие скольжения частиц друг по другу. В течение этой стадии кривая напряжения-деформации может быть почти горизонтальной и сопровождаться значительным сокращением объема, происходящим при почти неизменном сдвигающем напряжении. В процессе дальнейшей деформации мобилизация межчастичного сопротивления скольжению постепенно превышает уменьшение структурного сопротивления, и кривая напряжения-деформации начинает вновь подниматься; это продолжается до полной мобилизации сопротивления сдвигу.

В трехосном испытании максимальное структурное сопротивление сдвигу мобилизуется при исключительно малых деформациях (около  $\frac{1}{3}\%$ ), между тем как межчастичное сопротивление скольжению лишь постепенно увеличивается с увеличением деформации. Последствием является то, что после начала разлома структурного расположения скорость, с которой структурное сопротивление уменьшается, может превысить скорость, с которой мобилизуется межчастичное сопротивление скольжению, и кривая напряжения-деформации может показывать снижение. При больших деформациях и после значительного изменения объема, кривая напряжения-деформации начинает вновь подниматься до тех пор, пока наконец не будет мобилизовано предельное сопротивление сдвигу.

Критическое сдвигающее напряжение, при котором начинается разлом структурного расположения, по-видимому, меньше при простом испытании на прямой сдвиг, чем в трехосном испытании. Это различие есть результат того, что в трехосном испытании мы учитываем максимальное сопротивление сдвигу, действующее в пределах элемента и получаемое как за счет консолидационных сдвигающих напряжений, так и за счет приложенных сдвигающих напряжений, между тем в простом испытании на прямой сдвиг мы обычно учитываем только приложенные сдвигающие напряжения по горизонтальным плоскостям, которые не являются наиболее высоко напряженными плоскостями. Если в простом испытании на прямой сдвиг мы вычислим максимальное сдвигающее напряжение в глине, при котором начинает разрушаться структурное расположение, принимая во внимание как консолидационные сдвигающие напряжения, так и приложенные сдвигающие напряжения, мы найдем величину максимального сдвигающего напряжения, равную  $0,33p$ , которая очень близка к величине, наблюдаемой в трехосном испытании. Таким образом, помимо способа, которым прилагаются сдвигающие напряжения, и метода интерпретации полученных результатов, между трехосным испытанием и простым испытанием на прямой сдвиг существует лишь небольшая разница.

#### *Дренированно-недренированное разрушение*

Интересным результатом дренированных испытаний на сдвиг является вывод о том, что в ненарушенных плавунных глинах структура начинает разрушаться при критическом сдвигающем напряжении, которое может быть меньше предельного дренированного сопротивления сдвигу. При сдвигающих напряжениях ниже критической величины глина показывает хрупкое поведение, характеризуемое малыми деформациями и малыми изменениями объема; мобилизация дополнитель-

ного сопротивления требует больших деформаций и сопровождается большими изменениями объема.

Дренированный глинистый элемент, который подвергается сдвигающим напряжениям вблизи критического значения, находится поэтому в очень осложненной стадии равновесия. Небольшое внезапное увеличение сдвигающего напряжения дает начало полному нарушению структурного расположения, результатом чего являются большие деформации и увеличение сжимаемости. Полное разрушение структурного расположения сопровождается одновременным повышением порового давления, и если поровая вода не в состоянии достаточно быстро дренироваться для рассеяния избыточного порового давления, то соответствующее снижение эффективного напряжения может компенсировать увеличение сопротивления сдвигу при деформировании, и происходит разрушение. Таким образом, глина разрушается при недренированном сдвиге вследствие очень малого приращения нагрузки, несмотря на тот факт, что она обладает значительным дополнительным сопротивлением или резервным сопротивлением в дренированных условиях.

На рис. 5 показана зависимость между резервным сопротивлением и приращением недренированного сдвигающего напряжения, наблюдаемого в простых испытаниях на прямой сдвиг на примере глины из Манглеруда. Серия идентичных образцов была подвергнута консолидации под нагрузкой, равной природному эффективному давлению, оказываемому покрывающим пластом, а затем срезана. Первая часть испытания на сдвиг осуществлялась в дренированных условиях, затем при определенной величине напряжений, изменяющейся от одного испытания к другому, дренированные условия сменялись недренированными. Таким образом, в процессе каждого испытания определялась величина резервного недренированного сопротивления сдвигу, появляющегося при определенной величине дренированного сдвигающего напряжения. На рис. 5 показана зависимость наблюденного сдвигающего напряжения при разрушении от дренированного сдвигающего напряжения, испытываемого глиной при изменении условий от дренированных к недренированным. Величина, на которую разрушающее сдвигающее напряжение превышает линию, проведенную под углом  $45^\circ$ , представляет, таким образом, имеющееся в наличии резервное недренированное сопротивление. Как видно из чертежа, критическое сдвигающее напряжение приблизительно составляет  $0,18-0,20$  от эффективного давления покрывающих пластов, и эта величина почти не зависит от того, подвергалась ли глина дренированным сдвигающим напряжениям или нет. Если дренированное сдвигающее напряжение превышает критическое напряжение, то резервное сопротивление приращению недренированного сдвигающего напряжения чрезвычайно мало и составляет не более нескольких процентов; оно уменьшается до нуля с приближением дренированного сдвигающего напряжения к дренированному сдвигающему сопротивлению.

Внезапное изменение условий от дренированного к недренированному может происходить в любой нормально-консолидированной глине. Характерное поведение плавунных глин, иллюстрируемое рис. 5, связано со значительным снижением сопротивления структурного расположения после начала разлома; это снижение так велико, что уравновешивает влияние одновременно происходящей мобилизации сопротивления скольжению.

Явление разрушения при сдвиге от внезапной замены дренированного условия недренированным не могло быть необычным на природных склонах в плавунных глинах Скандинавии. Этот механизм сдвига

возможно объясняет целый ряд предыдущих необъяснимых оползней, которые имели место при коэффициенте запаса, бесспорно превышающем единицу.

Оползень в Фурре, о котором упоминалось в начале этой статьи, может служить примером, иллюстрирующим подобный механизм разрушения при сдвиге. Детали оползня показаны на рис. 6. Грунтовые условия в Фурре были довольно своеобразны. Террасы, окаймляющие реку Намсан, состоят главным образом из песка, но содержат несколько тонких (менее 10 см) непрерывных слоев плавунной глины, падающих к реке со средним наклоном 6°. В результате небольшого начального оползня на берегу реки большая часть террасы, размером около 200 x 800 м, начала оползать к реке по одному из слоев плавунной глины. Благодаря своему природному наклону, за счет веса покрывающих пластов, глинистый слой еще до оползания подвергался сдвигирующему напряжению, действующему параллельно плоскости скольжения и составляющему в среднем около 0,12 от эффективного напряжения. В этих условиях коэффициент запаса против разрушения составлял 3—4 по отношению к предельному дренированному сопротивлению. Как установлено из проведенного на месте испытания на срез (Hutchinson, 1961), сдвигающие напряжения в глинистом слое были такой величины, что структурное расположение глины было близко к точке полного разрушения, и потому склон находился в довольно осложненном состоянии равновесия. Результат испытания дан на рис. 7; пологая кривая напряжение-деформация не истолковывается как признак предельного дренированного разрушения; она скорее интерпретируется как указание на то, что уменьшение структурного сопротивления как раз компенсирует увеличение межчастичного сопротивления скольжению. В результате начального оползня на берегу реки увеличились сдвигающие напряжения в тонком слое плавунной глины вокруг границ начального оползня; деформации сдвига оказались достаточно большими для начала разлома минерального скелета. Вследствие невозможности достаточно быстро рассеивания дренированием давления в поровой воде, поровое давление увеличилось, и соответствующее снижение эффективных напряжений уравновешивало увеличение мобилизованного трения в процессе деформации. Так как плавунная глина после разлома минерального скелета оказывается не в состоянии выдерживать сдвигающие напряжения, которым она ранее сопротивлялась, последние передаются на соседние участки склона. Таким путем разрушение минерального скелета распространяется вдоль глинистого слоя по направлению вверх по склону, пока, наконец, склон не оползает; это может быть названо дренированию-недренированным разрушением.

Таким образом, величина  $\varphi' = 7^\circ$ , полученная путем обратного расчета оползня, не является полностью мобилизованной величиной трения. Среднее сдвигающее напряжение в плавунной глине, которое соответствует этой величине, есть попросту критическое сдвигающее напряжение, при котором начинает полностью разрушаться минеральный скелет.

Приведенное сравнение дренированного испытания на прямой сдвиг и дренированного трехосного испытания показывает, что отношение критического сдвигающего напряжения, при котором начинается разлом структурного расположения, к предельному дренированному сопротивлению сдвигу зависит от способа, которым нагружается глина. Это также означает, что относительная опасность осуществления на практике раннего дренированию-недренированного разрушения при

критическом напряжении зависит от проблемы устойчивости. Чем меньше то критическое сдвигающее напряжение, при котором начинается разлом по сравнению с предельным дренированным сопротивлением сдвига, тем большим является риск, связанный с практическим расчетом.

На рис. 8 показаны три разных типа условий нагружения и для каждого из них дается типичная кривая напряжение-деформация для дренированных испытаний. Из сравнения отношения критического сдвигающего напряжения, при котором структурный разлом начинает развиваться, к предельному дренированному сопротивлению сдвига, мы можем сделать следующие выводы. В случае разлома структурного расположения, вызванного сжатием (рис. 8, а), критическое сдвигающее напряжение имеет ту же или лишь немного меньшую величину, что и предельное дренированное сопротивление сдвига. Следовательно, в этом случае при значительно более низкой величине напряжения по сравнению с предельным дренированным сопротивлением сдвига опасность образования дренированно-недренированного разрушения при сдвиге невелика. Такое же заключение можно сделать для случаев, когда глина подвергается напряжению при боковом разгружении (рис. 8, б), например, когда склоны образованы эрозией реки. В этом случае критическое сдвигающее напряжение, при котором начинается разрушение структурного расположения, больше, чем предельное дренированное сопротивление сдвига. Это согласуется с установленным положением о том, что параметры сопротивления сдвига, выраженные через эффективные напряжения, были полностью мобилизованы в исследованных начальных оползнях плавунных глин (Кеппене, 1966). Гораздо более опасные условия, имевшие место при оползне в Фурре, показаны на рис. 8, с. В этом случае условие критической устойчивости может иметь место при величинах напряжений, соответствующих эффективным напряжениям при коэффициенте запаса против разрушения по слегка наклонным плоскостям, равным двум и более.

### ЗАКЛЮЧЕНИЕ

Основным результатом вышеприведенного анализа поведения при сдвиге плавунных глин является то, что в процессе сдвига плавунной глины можно провести границу между двумя совершенно разными явлениями: перекашиванием и разрушением структурного расположения, происходящими при относительно малых деформациях, и постепенной мобилизацией сопротивления скольжению, которое завершается лишь после значительного деформирования.

Кроме того, было показано, что эти два вида сопротивления сдвига зависят от разных факторов. Сопротивление структурного расположения практически не зависит от изменения эффективных напряжений, происходящих во время сдвига; для нормально-консолидированных глин оно регулируется консолидационными напряжениями, для несущих которых приспособилась структура. Однако максимальное сопротивление структурного расположения не есть постоянная величина; оно зависит от того, как прикладываются напряжения, вызывающие разрушение. Помимо того, имеются достаточные основания для предположения о том, что сопротивление структурного расположения зависит от времени выдерживания под нагрузкой.

Сопротивление сдвига норвежской плавунной глины, предельно мобилизуемое при завершении разлома структурного расположения, главным образом, обязано сопротивлению трению и потому существенно зависит от эффективного напряжения. При этом эффективное

сцепление составляет незначительную часть предельного сопротивления сдвигу.

Было также показано, что во многих практических случаях сопротивление сдвигу, которое может быть мобилизовано, определяется максимальным сопротивлением структурного расположения, а не предельным сопротивлением сдвигу. Очевидно, что этот случай имеет место, когда устойчивость определяется недренированным сопротивлением сдвигу. Однако на практике имеют место и дренированные условия, в которых разлом структурного расположения может вызвать критическое устойчивое состояние при величинах напряжения, достаточно низких по сравнению с теми, которые соответствуют полностью мобилизованному дренированному сопротивлению сдвигу. Подобные условия наблюдалось во время оползня в Фурре, где слегка наклонный участок земли, покоящийся на плавунной глине, подвергался напряжениям, близким к точке разлома структурного расположения. В таких случаях небольшое приращение сдвигающего напряжения может резко изменить условия от дренированных к недренированным и разрушение может наступить при сдвигающем напряжении, существенно меньшем, чем предельное дренированное сопротивление сдвигу. Опасность такого раннего дренированно-недренированного разрушения во многом зависит от характера проблемы устойчивости; она, например, фактически не существует в однородных склонах, образованных медленной эрозией реки в горизонтальное плато, и в случаях, когда проблема устойчивости возникает при обводнении фундамента или насыпи, сооружаемых на горизонтальной глинистой поверхности.

Авторы выражают глубокую признательность своим коллегам из Норвежского геотехнического института за ряд ценных замечаний, способствующих разрешению изучаемой проблемы. Авторы считают особенно ценным участие доктора Дж. Д. Брауна в окончательном редактировании рукописи.

## EFFECT OF STRUCTURE ON THE SHEAR BEHAVIOUR OF NORMALLY CONSOLIDATED QUICK CLAYS<sup>1</sup>

Dr. LAURITS BJERRUM<sup>2</sup> and Professor Dr. T. CALDERON KENNEY<sup>3</sup>

### PREFACE TO THE ARMENIAN AND RUSSIAN TRANSLATIONS

The following paper was presented as a special paper for the „European Geotechnical Conference on Shear Strength Properties of Natural Soils“, held in Oslo in 1967. The purpose of the paper was to give the conference participants a review of the most recent results from the study of the shear strength of marine quick clays carried out at the Norwegian Geotechnical Institute during the past several years.

In the paper it is shown that the normally consolidated marine clays show a brittle behaviour. The stress-strain curve is characterized by a steep rise followed by a yielding which occurs at a very small strain. At

<sup>1</sup> Special Report, Proceedings of the Geotechnical Conference Oslo 1967 on Shear Strength Properties of Natural Soils and Rocks, vol. II, p. 19–27. Oslo, 1968.

<sup>2</sup> Director, Norwegian Geotechnical Institute and Past-President, International Society for Soil Mechanics and Foundation Engineering, Oslo.

<sup>3</sup> Professor of Civil Engineering, University of Toronto, Toronto, Ontario, Canada.

this point the frictional resistance is far from being mobilized. This brittle behaviour reflects a certain stability of the structural arrangement which starts to break down at a certain critical shear stress. In the paper it is furthermore demonstrated that the yielding, which occurs when the structure starts to break down, governs in many cases the maximum shear stress a quick clay can sustain in practice.

Research carried out since 1967 has confirmed the main point of view presented in the paper. However it has also been established that the structural stability which governs the small strain behaviour of unweathered normally consolidated clays is the result of the delayed consolidation the clays have undergone since their deposition. The yield phenomenon observed in shear tests on these clays is thus identical to the apparent preconsolidation effect observed in consolidation tests on clays which have undergone delayed consolidation as described in Publication No. 71 from the Institute (Bjerrum, 1967). Because this finding is believed to contribute so much to the clarification of the subject, it is suggested that this paper on the consolidation properties of normally consolidated clays be read before proceeding to the following discussion of the shear behaviour of normally consolidated quick clays.

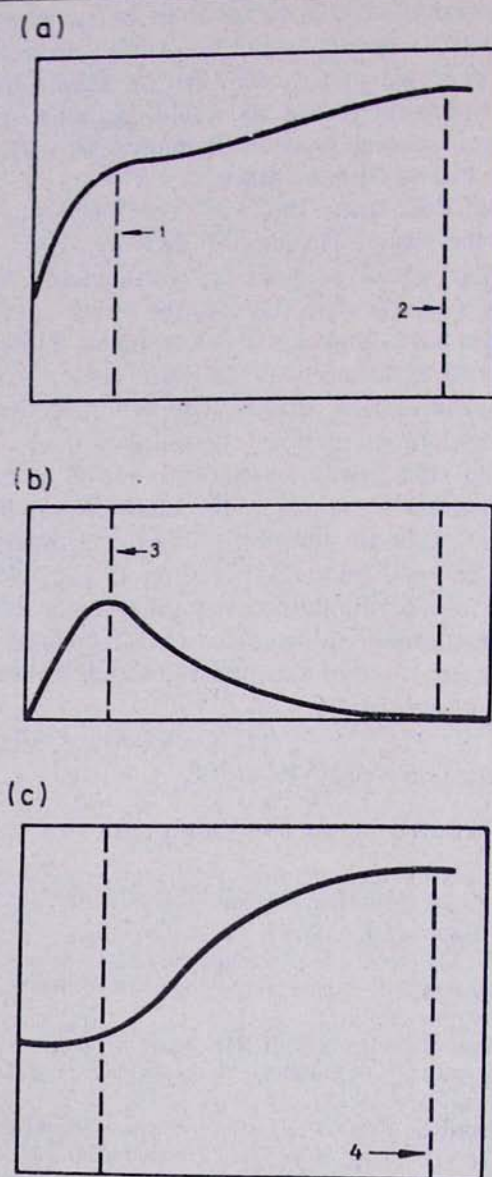
The authors are grateful to Professor Dr.Sc. George Ter-Stepanian for his selection and translation of the paper for publication in the periodical "Problems of Geomechanics".

T. C. Kenney and Laurits Bjerrum

Oslo and Toronto, September 5th, 1970.

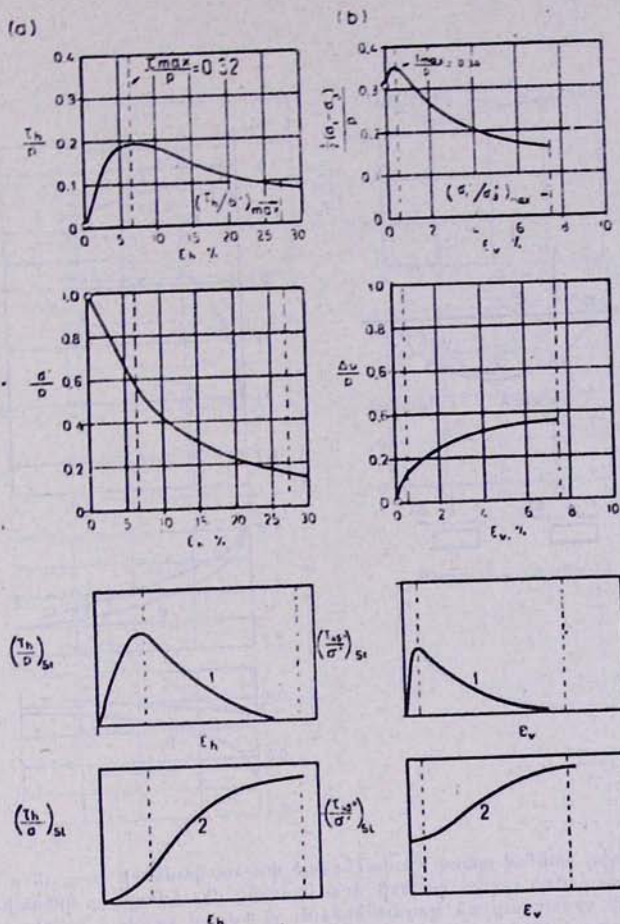
#### ԳՐԱԿԱՆՈՒԹՅՈՒՆ—ԼԻՏԵՐԱՏՈՒՐԱ

- Aas G., 1967. Vane tests for investigation of anisotropy of undrained shear strength of clays. Proceedings, Geotechnical Conference Oslo 1967 on Shear Strength Properties of Natural Soils and Rocks. 1:3—8.
- Bjerrum, L., 1961. The effective shear strength parameters of sensitive clays. Proceedings, Fifth Internat. Conf. Soil Mech. Found. Eng. Paris 1:23—28; Norwegian Geotechnical Institute, Publ. 45.
- Bjerrum L., 1967. Engineering geology of Norwegian normally-consolidated marine clay as related to settlement of buildings *Géotechnique* 17 (2): 81—118; Norwegian Geotechnical Institute, Publ. 71.
- Bjerrum, L. and A. Landva, 1966. Direct simple-shear tests on Norwegian quick clay. *Géotechnique*, 16 (1): 1—20; Norwegian Geotechnical Institute, Publ. 70.
- Dibiaglio E. and G. Aas, 1967. The in situ undrained shear strength measured on a horizontal failure plane by large-scale direct-shear tests in quick clay. Proceedings, Geotechnical Conference Oslo 1967 on Shear Strength Properties of Natural Soils and Rocks. 1:19—26.
- Hutchinson, J. N., 1961. A landslide on a thin layer of quick clay at Furre, Central Norway, *Géotechnique*, 11,(2):69—94.
- Kenney, T. C., 1966. Shearing resistance of natural quick clays. Ph. D. Thesis submitted to the University of London, England; Norwegian Geotechnical Institute 138 pp.
- Kenney, T. C., 1967. Slide behaviour and shear resistance of a quick clay determined from a study of the landslide at Selnes, Norway, Proceedings, Geotechnical Conference Oslo 1967 on Shear Strength Properties of Natural Soils and Rocks. 1: 57—64.



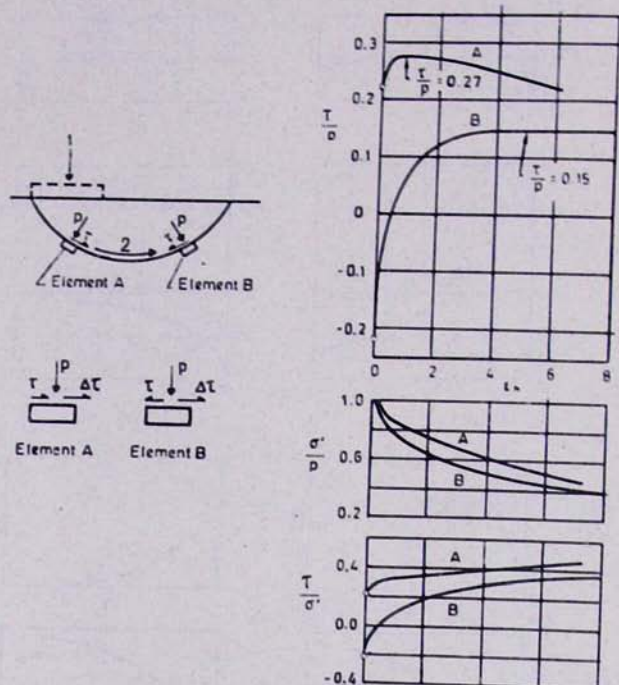
Ч. 1. Ісղаң կավի ნամար լարում-դեֆорմացիայի կոռագիծը և երա բաժանումը հիմնական բաղադրիչների: а) լարում-դեֆорմացիա; б) ստրուկտուրային դասավորման դիմադրություն; в) միջմասնիկային սահման դիմադրություն: Արսցիսներ—դեֆորմացիաներ, օրդինատներ—սահմաններ: 1—կրիտիկական լարում. 2—քայլայում. 3—ստրուկտուրայի դասավորման շարգման սկիզբը. 4—միջմասնիկային սահմաններ դիմադրության լրիվ մորիլիզացումը:

Рис. 1. Кривая напряжение-деформация для плавунной глины и ее разделение на основные компоненты: а) напряжение-деформация; б) сопротивление структурного расположения; в) сопротивление межчастичного скольжения. Абсциссы—2—разрушение; 3—начало разлома структурного расположения; 4—полная мобилизация сопротивления межчастичного скольжения.



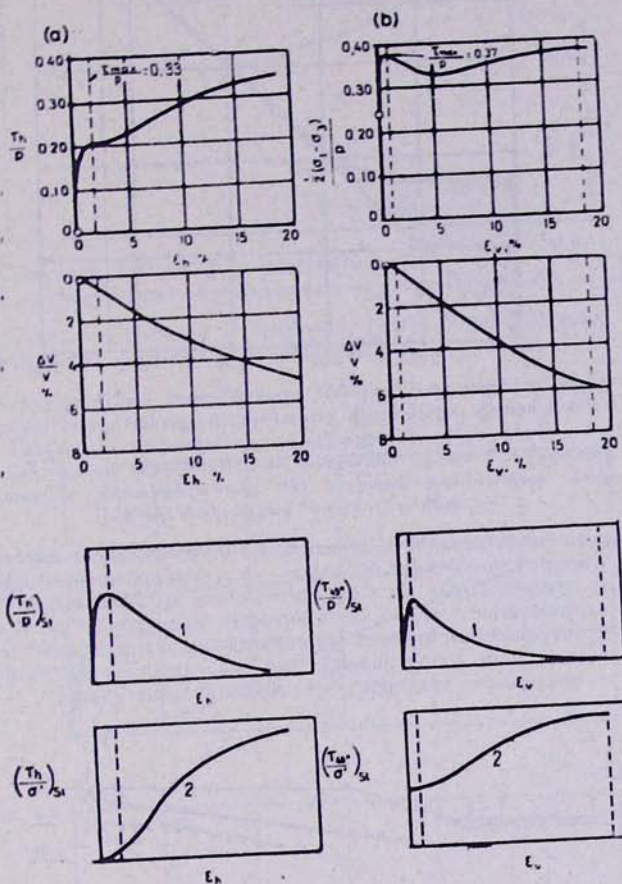
№ 2. Մանգլերուի լողուն կավի շամանեցված փորձարկումների արդյունքները а) սպիդ սահմով պարզ փորձարկում. (б) եռառանցքային փորձարկում: Ներքուի երկու զծագրերը որակապես պարզաբանում են դիմադրության հիմնական բաղադրիները՝ լուրաքանչւությունը փորձարկման համար՝ վերևում՝ ստրուկտորայի դասավորումը (st), ներքևում՝ միջմասնիկային սահմում (sl). 1—ստրուկտորայի դասավորման դիմադրություն. 2—միջմասնիկային սահմում սահման դիմադրություն:

Рис. 2. Результаты недренированных испытаний плавунной глины из Манглеруда:  
 а) простое испытание на прямой сдвиг; (б) трехосное испытание. Нижние два чертежа качественно иллюстрируют основные компоненты сопротивления для каждого испытания: вверху—структурное расположение (st), внизу—межчастичное скольжение (sl); 1—сопротивление структурного расположения; 2—сопротивление межчастичного скольжения.



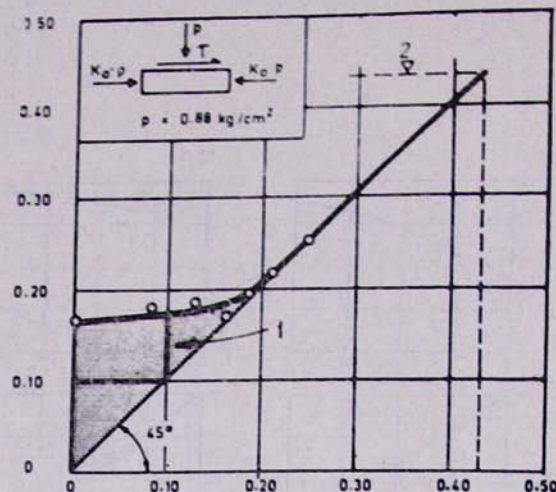
№4. Երկու ուղիղ սահմով պարզ շամաբեցված փորձարկումների արդյունքը, որոնք անց են կացվել կիերառանդի լողուն կավերի վրա և ուղանց մեջ նմուշները կոնսոլիդացվել են՝ արտադրին սահմով գիմադրուրյան պայմաններում։ Ա նմուշը կարգում է հենց այն ուղղությամբ, որով գործում էին սահմով լարումները, իսկ Բ նմուշը կարգում է հակառակ ուղղությամբ։ 1—բեռնվածք, 2—քայլայում։

Рис. 3. Результаты двух простых недренированных испытаний на прямой сдвиг, проведенных над плавуинными глинами из Льерстронда, в которых образцы были консолидированы в условиях внешнего сдвигающегося напряжения. Образец А был срезан в том же направлении, в котором действовали сдвигающие напряжения, а образец В был срезан в противоположном направлении. 1—нагрузка; 2—разрушение.



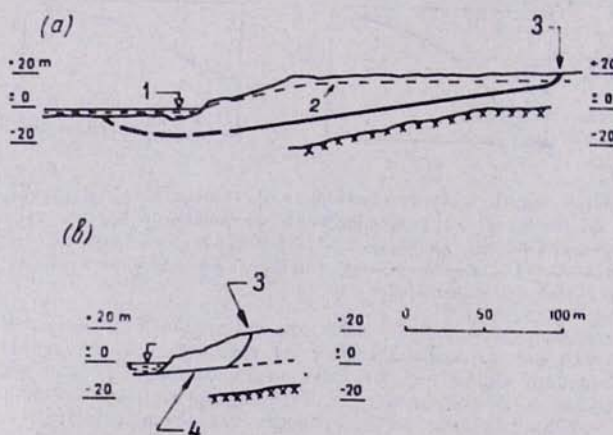
Ч. 4. Установлено, что в линейном диапазоне деформаций, соответствующем фильтрации, а) простое испытание на прямой сдвиг; б) трехосное испытание: наблюдается линейный закон изменения объема глины при фильтрации, что подтверждается измерениями объема глины в процессе испытания. 1 — сопротивление структурного расположения (st); 2 — сопротивление межчастичного скольжения (sl).

Рис. 4. Результаты дренажированного испытания плавунной глины из Мангеруда: а) простое испытание на прямой сдвиг; б) трехосное испытание. Нижние два чертежа качественно иллюстрируют основные компоненты сопротивления для каждого испытания. 1 — сопротивление структурного расположения (st); 2 — сопротивление межчастичного скольжения (sl).



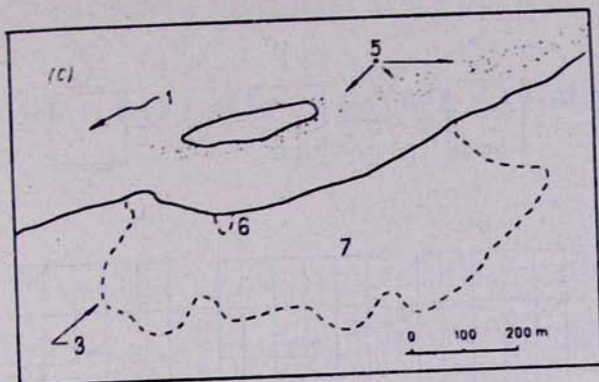
Ч. 5. Несущая способность приращения напряжения в зависимости от приращения недренированного сдвигающего напряжения на прямой сдвиг на плавунной глине из Манглеруда. Абсциссы—сдвигающие напряжения  $\tau$  кг/см<sup>2</sup>, при которых дренированные условия изменились на недренированные; ординаты—сдвигающие напряжения  $\sigma_s$  кг/см<sup>2</sup> при разрушении. 1—резервное сопротивление для недренированного разрушения, 2—предельное дренированное сопротивление сдвига.

Рис. 5. Резервное сопротивление в зависимости от приращения недренированного сдвигающего напряжения, наблюдаемое в дренированно-недренированных испытаниях на прямой сдвиг на плавунной глине из Манглеруда. Абсциссы—сдвигающие напряжения  $\tau$  кг/см<sup>2</sup>, при которых дренированные условия изменились на недренированные; ординаты—сдвигающие напряжения  $\sigma_s$  кг/см<sup>2</sup> при разрушении. 1—резервное сопротивление для недренированного разрушения, 2—предельное дренированное сопротивление сдвига.



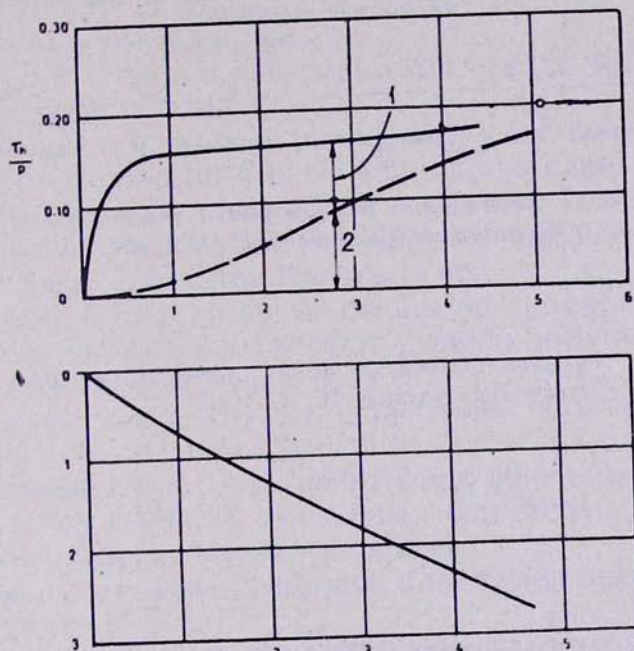
Ч. 6, а и б. Зоны супесией при оползнях в Фурре (Hutchinson, 1961). а) профиль по главному оползнию; б) профиль по начальному оползнию. 1—река Намсен; 2—уровень грунтовых вод; 3—стенка отрыва; 4—поверхность скольжения.

Рис. 6, а и б. Поперечный разрез оползня в Фурре (Hutchinson, 1961); а) профиль по главному оползнию; б) профиль по начальному оползнию. 1—река Намсен; 2—уровень грунтовых вод; 3—стенка отрыва; 4—поверхность скольжения.



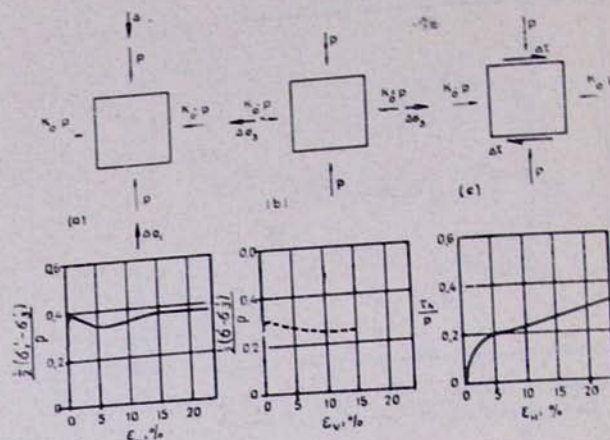
Черт. 6, с. Зонтичные оползни в Фурре (Hutchinson, 1961). 1—река Намсен; 5—крупнейший гравийный остров; 6—известняковая скала; 7—главный оползень.

Рис. 6, с. План оползня в Фурре (Hutchinson, 1961); 1—река Намсен; 5—гравийная коса; 6—начальный оползень; 7—главный оползень.



Черт. 7. Зонтичные оползни в Фурре. 1—сопротивление горизонтальной деформации в мкН/м<sup>2</sup>; 2—сопротивление межчастичного скольжения в мкН/м<sup>2</sup>. 1—сопротивление горизонтальной деформации в мкН/м<sup>2</sup>; 2—сопротивление межчастичного скольжения в мкН/м<sup>2</sup>.

Рис. 7. Результаты дренированных полевых испытаний плавунных глин из оползня в Фурре. Абсциссы—горизонтальная деформация в мм; ординаты на нижнем графике—вертикальные деформации в мм; 1—сопротивление структурного расположения; 2—сопротивление межчастичного скольжения.



Нк. 8. Інерпіснннрхг դեֆорմаցիայի կախման կогаզձերը բառ Մանգլерудով լողուն կավերի ցամացեցված փոքրարկումների արդյունքների՝ լարումների կիրառման երեք տապի համար:

Рис. 8. Кривые зависимости деформации от напряжений по результатам дренажированных испытаний плавунных глин Манглеруда для трех различных типов приложения напряжений.

Печатается по решению ученого совета  
Института геологических наук АН АрмССР

Редактор издательства И. М. Адонц, Р. А. Штибен  
Технический редактор М. А. Минасян